志　天寿120歳を悟り、弥勒のココロ、大和の意識の場を共にわかちたい

エネルギー療法/波動エネルギー研究(測定・修正・調査)

多次元経絡意識波動　フタカミエネルギー研究会

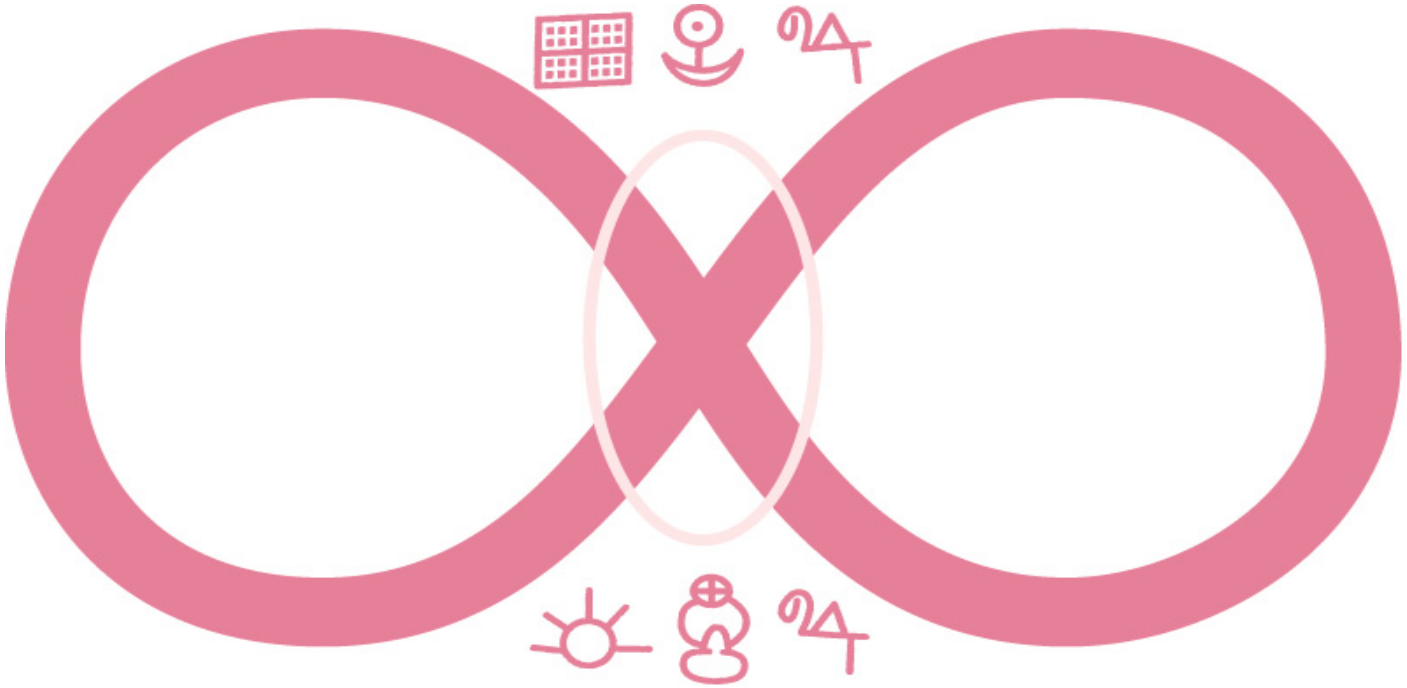

f-hado.com　FUTAKAMI Inc, ®

プラズマ・エネルギー波動測定　天職はHealer

平成24年10月30日　川形　壽隆　意識レベル：642

サトルエネルギー学会　第53回超エネルギー研究分科会　講演発表

2012年9月30日（初記）、2012年10月30日超エネ研にて発表、2012年11月7日修正と追記

2012年9月30日（初記）、2012年10月30日超エネ研にて発表、2012年11月7日修正と追記　川形　壽隆
http://www.f-hado.com/energy/emamori.html

［放射線消去とコロンブスの卵］

“The Elimination of Atomic Radiant Ray & Columbus` Egg From The Spark of Simple Thought”

・人や動物の脳は、C(炭素):半導体と共鳴。

・私が考案しましたコーザル・マークは、人を始め動植物に必要なプラズマ・エネルギーを活性化する働きがある事が波動測定されました。それというのは元素記号の炭素の頭文字“C”の2文字を向かい合わせ、立形の卵形図に半導体機能を有する事が波動測定されたからです。 メビウスの帯∞(コーザル体ﾁｬｸﾗ　暗号88888)の中心に、その立型の卵形図を組み合わせたところ、プラズマ・エネルギーの更なるアップが測定されました。

・ このプラズマ・エネルギー・コーザル（マーク）シートが、
多量の遠赤外線の放射とマイナスイオンを発生し、気・生命エネルギーを発生、
放射線を消去する働きがあることを
2005年1月、当フタカミエネルギー研究会の波動エネルギー測定で確認。

・それを立証する為に、遠赤外線応用研究会にプラズマ・エネルギー・コーザルシートの測定を依頼しましたところ、後述のごとく、
◎2007年9月、**イオンの発生と遠赤外線放射率88.19%**
◎2011年7月、**放射線消去(除去) 能力がある**
ことを測定証明されました。

・ これを受けて、2011年9月に原発から50km圏外の、放射線量1.08μSv/hrの放射能 汚染地内に在住する協力者に依頼して、このﾌﾟﾗｽﾞﾏ・ｴﾈﾙｷﾞｰ・コーザルシートを使用しての**放射線消去テスト**をしてもらったところ、その効能が発揮されました。

・ 本年3月に参加した福島県有機農業ネットワーク研究大会において、福島県の放射能汚染地区に於ける有機農法家によって、植物には放射能・放射線を消去(除去)する働きがあることを発表されておりました。

上記の観点から光合成において、葉緑素が半導体機能として働くことを波動測定で確認出来ました。

・ **コーザル・シートの半導体マークに卵形を採り入れた発想の原点となった、「コロンブスの卵＝シンプルな思考」が、本年８月に半導体と共鳴することを波動測定によって「シンプルな思考」の意義深さを追認出来ました。**

・ **プラズマ・エネルギー・コーザルマークを四重にしたものが、真魂（Magokoro）マーク、それを更に八重にして[プラズマ・モデル陶板](#)（陶器タイル194×194×10t）を完成させました。**

・ **各々の放射能・放射線消去（除去）能力は＋２ですが、**

[時間エネルギーと核　は、１：４：８](#)　と波動測定されましたので、放射線消去（除去）速度がアップする事が、以下の通り判明しました。

・ そこで遠赤外線応用研究会にて、放射線消去(除去率)時間を測定していただきました。

放射線消去(除去率)時間の測定結果は

◎マーク一重で　60分後　22．3%(ｺｰｻﾞﾙ･ｼｰﾄ)・・・・・・・・・・・・・・・・マイナスイオン　147

◎マーク四重で　60分後　28．7%(Magokoroｼｰﾄ)・・・・・・・・・・・・・・マイナスイオン　417

◎マーク八重で　60分後　30．4%(プラズマ･モデル陶器タイル)・・マイナスイオン　539
(放射線量1.02μSv/hrの試料水2ℓ入りのパン型容器にﾌﾟﾗｽﾞﾏ･ﾓﾃﾞﾙ陶器ﾀｲﾙを1枚浸漬)

上記測定結果を勘案の上、タービン建屋のタービン下の冷えた水を原子炉に送る前に、従来の、プラズマ･モデル陶板(陶器タイル)を今後プラズマ･モデルタイルと呼称しますが、
そのプラズマ･モデルタイルを活用して放射線量の低減を図る実験を、早急に実施していただきたいと考えております。

更には、燃料棒を摘出した後の廃炉原子炉内に、600枚以上のプラズマ･モデルタイルを導入することにより、放射線量の低減と無害化への時間短縮プロジェクトの私案を、以下に記述し提案いたしますので検討願います。

・ プラズマ・モデルタイルのエネルギー伝導力をアップさせると、

プラズマ・モデルタイルの時間エネルギー＋８ を 2倍の＋16へ倍増する事が波動測定により導きだしました。

・ プラズマ・モデルタイルの導入時の現場・廃炉原子炉内プールにて

◎磁力 と 電子インパルス を加圧する事により一層、

放射線消去の時間短縮効果が、あらわれるものと考えました。

・ プラズマ・モデルタイルには反物質様に共鳴して、プラズマのエネルギーを活性化させる働きがあることが、波動測定されました。

・ プラズマ・エネルギー波動測定法で、

〇正の電荷/負の荷電粒子を持つ物質と負の電荷/正の荷電粒子を持つ反物質様 の働きを有するものが測定されました。

〇プラズマ・モデルタイルに共鳴する磁力と電子インパルスの加圧効果が、エネルギーとエネルギー伝導力のアップにどの程度の効果があるのか波動測定を試みました。

結果として、下記の通り測定されました。

＜測定結果＞　(※註記)

Ⅰ. 生命体の気・生命エネルギーを高める効果のある物質の、
銀河、太陽光線、太陽のエネルギー、ケイ素、炭素、電子、**素粒子、質量、**核　の各々
の数値+8が2倍の+16にアップ。

Ⅱ. 生命体の気・生命エネルギーを高める効果のある反物質様の、
磁気リコネクション、電磁気エネルギー、時間エネルギー、プラズマ、半導体、超高速
移動(ワープ)、気・生命エネルギー、エネルギーの各々の数値+8が、2倍の+16にアップ。

Ⅲ. 生命体に有害で、気・生命エネルギーを低下させる下記の反物質様の、
中性子線、中間子線、電子線、超短波放射線、放射線、γガンマ線、βベータ線、
αアルファ線などの有害な－1のエネルギーが、＋2のエネルギーの発生によって消去
されました。

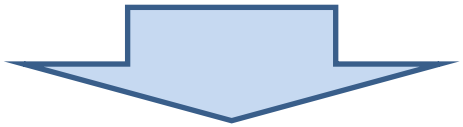

上記の波動測定より導き出された通り、**時間エネルギーが**2倍にアップ
するので**放射線消去する時間を**2倍**に速めることが可能**と考えます。

以上の通り、放射線消去(除去)と放射線無害化への時間短縮プロジェクトとしての私案は、従来の完全廃炉への予測時間40～50年を大幅に短縮し、5年～10年内に放射線を無害化にすることが可能と考えます。

＜※　追記:2012年11月7日＞　　川形　壽隆

◎　廃炉原子炉内プールには、核分裂して熱エネルギー発生後、人に有害な放射線が現存し、劣化した原子核が約1,700万個以上存在するものと考えられます。

地球の自然蘇生力には常温原子転換作用により、**劣化した核を還元し有害な放射線を消去する能力があります、1日に1,000個当たりと仮定すれば、劣化した核子核を還元させて放射線を消去し、完全廃炉へ要する日数は**17,000日⇒ 46.575年（約47年）となります

◎　**プラズマ・モデルタイル**の1枚には、
・劣化した原子核を還元させる働きを持つ原子核を 8個
・ケイ素、炭素、電子、質量、素粒子の各々が＋8、
・時間エネルギー+8、　　・気・生命エネルギー＋8、
を有して放射線を消去する事が波動測定されました。

- 燃料棒を摘出した後のプール内に、**劣化原子核の還元促進のために、**600枚のプラズマ・モデルタイルを導入することにより、8個×600枚＝4,800個、更に放射線を消去するエネルギーの伝導力アップのために、1日に1回の磁力と電子インパルスの加圧効果で、2倍の9,600個の原子核が劣化原子核の還元に有効なる働きをするものと想定しました。

上記の想定により、劣化した原子核約1,700万個を還元する為に要する日数は
1,771日⇒4.852年(約5年)との結論を得ました。

（※註記）

プラズマ・モデルタイルに和合、共鳴する、正の電荷/負の荷電粒子を持つ物質と、
負の電荷/正の荷電粒子を持つ反物質様として波動測定された項目を例記しました。

ちなみに、反物質の陽電子、反陽子、反中性子、反水素等は、
プラズマ・モデルタイルに共鳴しないと波動測定されました。

真魂(Magokoro)シート　http://www.f-hado.com/energy/magokorosheet.html

発表論文　http://www.f-hado.com/energy/ronbun.html

http://www.youtube.com/v/-4WGATTdfUk&fs=1&source=uds&autoplay=1
http://www.f-hado.com/energy/img/utyuron.pdf

参考　説・・・・

物質が、どんな知性でも生み出せると思うのは大きな間違いです。

原子と分子で構成された物質は磁力と電子インパルスの伝導力を超越する ことは、
できないのですから。

「プラズマ・モデル」陶板

白施釉タイル使用、194×194×10t

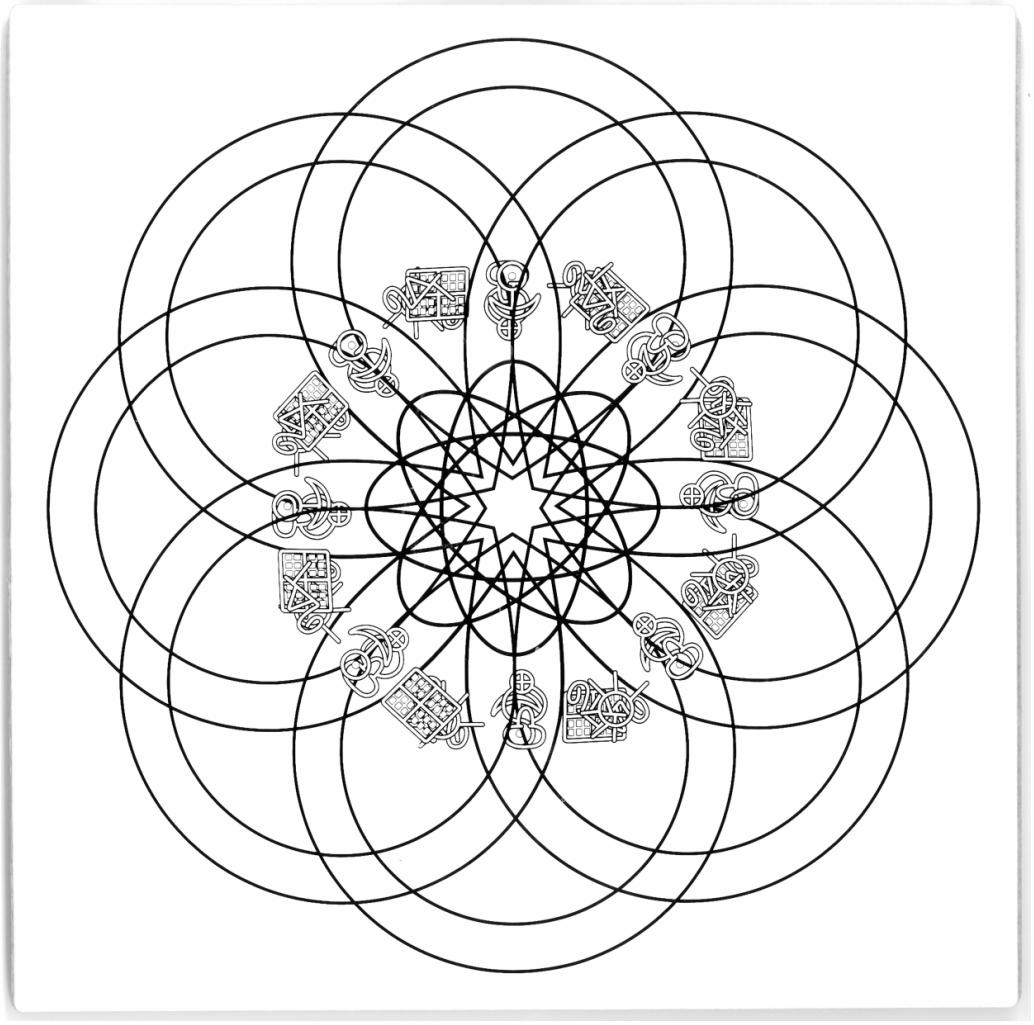

川形　壽隆 デザイン

絵柄:モノクロ色、背景色:白色、㈱アコーセラミック:上絵転写焼付(約800℃ H24/7/26)

「プラズマ・モデル」陶板(陶器タイル)

プラズマ宇宙論

プラズマ・エネルギー比例共鳴波動測定リスト

2012/9/30

プラズマが銀河を形成する

フタカミエネルギー研究会

*+磁力と電子インパルス： +magnetism and electronic impulse

原初2011年12月27日作成。「プラズマモデル」測定値を、2012年9月30日追加、更新

次元領域	反物質様：▼	磁気リコネクション	*+磁力インパル	プラズマモデル	プラズマ真魂	コーザルシート
V/VI	宇　　宙/陰陽	2	2	2	2	2
V/VI	銀河/陰陽	8	16	8	2	2
V/VI	磁気リコネクション/陽　▼	8	16	8	4	2
V/VI	電磁気エネルギー/陽　▼	8	16	8	4	2
V/VI	太　　陽/陰陽	2	2	2	2	2
V/VI	太陽の中心/陰陽	2	2	2	2	2
V/VI	太陽光線/陽	8	16	8	4	2
V/VI	太陽のエネルギー/陰陽	8	16	8	4	2
V/VI	超高速移動(ワープ)/陰陽▼	8	16	8	4	1
V/VI	空間/場のエネルギー/陰陽	2	2	2	2	2
V/VI	生命ｴﾈﾙｷﾞｰ/陰陽　▼	2	16	8	4	2
V/VI	時間エネルギー/陰陽　▼	2	16	8	4	1
V/VI	プラズマ/陰陽　▼	2	16	8	4	2
V/VI	プラズマ･フイラメント/陽	2	2	0	0	0
V/VI	フイラメント/陽	2	2	0	0	0
V/VI	高速プラズマ流/陽	2	2	0	0	0
V/VI	遅進衝撃波(数霊暗号99307)	8	2	0	0	0
V/VI	半導体/陰陽(暗号99307)　▼	8	16	8	4	1
V/VI	プラズマ・ジェット/陽	2	2	0	0	0
V/VI	プラズモイド/陽	2	2	0	0	0
V/VI	ビルケラン電流/陽	2	2	0	0	0
V/VI	流動電位/陰陽	2	2	2	2	2
V/VI	荷電粒子/陰陽	2	2	2	2	2
V/VI	正の荷電粒子/陽	2	2	2	2	2
V/VI	負の荷電粒子/陰	2	2	2	2	2
V/VI	荷電粒子線/陰陽　▼	0	2	2	2	2
V/VI	重荷電粒子線/陰陽　▼	0	2	2	2	2
V/VI	高速粒子線(粒子線)/陰陽▼	0	2	2	2	2
V/VI	素粒子/陰陽	2	16	8	4	2
V/VI	質　量/陰陽	2	16	8	4	2
V/VI	量　子/陰陽	2	2	2	2	2
V/VI	陽　子/陰陽	2	2	2	2	2
V/VI	陽子線/陰陽　▼	2	2	2	2	2
V/VI	中性子/陰陽	2	2	2	2	2
V/VI	中性子線/陰陽　▼	2	2	2	2	2
V/VI	中間子/陰陽	2	2	2	2	2
V/VI	中間子線/陰陽　▼	2	2	2	2	2

次元領域	反物質様：▼	磁気リコネクション	*+磁インパル	プラズマモデル	プラズマ真魂	コーザルシート
V/VI	意識/陽	2	2	2	2	2
V/VI	意識生命体・魂/陽	2	2	2	2	2
V/VI	宇宙と意識生命体・神/陰陽	2	2	2	2	2
V/VI	造化氣萬男之大神/陰陽	2	2	2	2	2
V/VI	伊邪那岐之大神/陰陽	2	2	2	2	2
V/VI	天之御中主之大神/陰陽	2	2	2	2	2
V/VI	天照日之大神/陰陽	2	2	2	2	2
V/VI	天疎(ｱﾏｻｶﾘ)日向津比売之大神	8	16	8	2	2
V/VI	天照皇大神/陰陽	8	16	8	2	2
V/VI	北斗星・北斗七星/陰陽	2	2	2	2	2
V	観　音/陰陽	2	2	2	2	2
V	佛・釈迦/陰陽	2	2	2	2	2
V	イエス・キリスト/陰陽	2	2	2	2	2
V	モーセ/陰陽	2	2	2	2	2
V	ムハンマド・イブン(マホメット)/陰陽	2	2	2	2	2
V/VI	光子ﾌｫﾄﾝ/陰陽	2	2	2	2	2
V/VI	核	2	16	8	4	1
V/VI	重　力/陰陽	−1	2	2	2	2
V/VI	重力波エネルギー/陰陽	−1	2	2	2	2
V/VI	運動エネルギー/陰陽	0	2	2	2	2
V/VI	霊/陰　▼	0	2	2	2	2
V/VI	イオン/陰陽　▼	2	2	2	2	2
V/VI	マイナスイオン/陰	2	2	8	4	2
V/VI	プラスイオン/陽	2	2	2	2	2
V/VI	氣/陰　▼	2	16	8	4	2
V/VI	地球/陰陽	2	2	2	2	2
V/VI	地球の中心/陰陽	2	2	2	2	2
V/VI	ゼロ磁場・グランディング/陰陽	2	2	2	2	2
V	天照月之大神/陰	2	2	2	2	2
V/VI	天疎(ｱﾏｻｶﾘ)月向津比古之神/陰	2	2	2	2	2
V/VI	月のエネルギー・建速須佐乃男神/陰	2	2	2	2	2
V	V次元の領域ｴﾈﾙｷﾞｰ循環ｼｽﾃﾑ	2	2	2	2	2
V/VI	V/VI次元の領域ｴﾈﾙｷﾞｰ循環ｼｽﾃﾑ▼	8	16	8	4	2

プラズマ宇宙論

プラズマが銀河を形成する

プラズマ・エネルギー比例共鳴波動測定リスト

*+磁力と電子インパルス：+magnetism and electronic impulse

2012/9/30

フタカミエネルギー研究会

次元領域	反物質様：▼	磁気リコネクション	*+磁力 インパルス	プラズマモデル	プラズマ真魂	ユーザーシート
V/VI	電　子/陰	2	16	8	4	2
V/VI	電子線/陰-1　反物質▼	2	2	2	2	2
V/VI	宇宙線　▼	-1	2	2	2	2
V/VI	超短波放射線/陰-1　▼	0	2	2	2	2
V/VI	携帯電話等特殊電磁波/陰-1▼	0	2	2	2	2
V/VI	放射線毒素/陰-1	0	2	2	2	2
V/VI	放射能/陰-1	-1	2	2	2	2
V/VI	γガンマ線/陰-1　▼	0	2	2	2	2
V/VI	βベータ線/陰-1　▼	0	2	2	2	2
V/VI	αアルファ線/陰-1　▼	0	2	2	2	2
V/VI	ヨウ素/陰-1	0	2	2	2	2
V/VI	セシウム134/陰-1	0	2	2	2	2
V/VI	セシウム137/陰-1	0	2	2	2	2
V/VI	プルトニウム239/陰-1	0	2	2	2	2
V/VI	電磁放射線/陰-1　▼	0	2	2	2	2
V/VI	体内発生放射線/陰-1　▼	0	2	2	2	2
V/VI	Xエックス線/陰-1　▼	0	2	2	2	2
V/VI	レントゲン焼け/陰-1	0	2	2	2	2
V/VI	珪　素/陰陽	2	16	8	4	2
V/VI	炭　素/陰陽	2	16	8	4	2
V/VI	脳/陰陽	2	16	8	4	2
V/VI	αアルファ波(脳波)/陽	2	2	2	2	2
V/VI	生体脳波でのﾘﾗｯｸｽ効果/陽	2	2	2	2	2
V/VI	生体への温熱効果/陽	2	2	2	2	2
V/VI	血流促進効果/陽	2	2	2	2	2
V/VI	DNA/陰陽	2	16	8	4	2
V/VI	染色体/陰陽	2	2	2	2	2
V/VI	遠赤外線/陽　▼	0	88	88	88	88
V/VI	イヤシロチ/陰陽　▼	2	16	8	4	2
V/VI	エネルギー/陰陽　▼	2	16	8	4	2
V/VI	感　情/陰陽	2	2	2	2	2
V/VI	免疫/陰陽	2	19	19	19	19

次元領域	反物質様：▼	磁気リコネクション	*+磁力 インパルス	プラズマモデル	プラズマ真魂	ユーザーシート
V	ダイオキシン/陰-1	0	2	2	2	2
V	活性酸素/陰-1	0	2	2	2	2
V	塩　素/陰陽	0	2	2	2	2
V	水銀毒/農薬/陰-1	0	2	2	2	2
V	化学物質過敏症/陰-1	0	2	2	2	2
V	ホルムアルデヒド/陰-1	0	2	2	2	2
V	アセトアルデヒド/陰-1	0	2	2	2	2
V	フェノブカルブ/陰-1	0	2	2	2	2
V	トルエン/陰-1	0	2	2	2	2
V	キシレン/陰-1	0	2	2	2	2
V	C8－C16脂肪族飽和炭化水素/陰-1	0	2	2	2	2
V	パラジクロロベンゼン/陰-1	0	2	2	2	2
V	エチルベンゼン/陰-1	0	2	2	2	2
V	スチレン/陰-1	0	2	2	2	2
V	クロルピリホス/陰-1	0	2	2	2	2
V	フタル酸ジーnーブチン/陰-1	0	2	2	2	2
V	テトラデカン/陰-1	0	2	2	2	2
V	フタル酸ジ-2-エチルヘキシル/陰-1	0	2	2	2	2
V	ダイアジノン/陰-1	0	2	2	2	2
V	総揮発性有機化合物(TVOC)/陰-1	0	2	2	2	2
V	ノナナール/陰-1	0	2	2	2	2
V	C8－C12脂肪族飽和アルデヒド/陰-1	0	2	2	2	2
V	シックハウス症候群/陰-1	0	2	2	2	2
V	ケトミウム属(寄生虫)/陰-1	0	2	2	2	2
V	トリコデルマビリデ(寄生虫)/陰-1	0	2	2	2	2
V	セルラーゼ/陰-1	0	2	2	2	2
V/VI	寄生虫/大腸菌(C091)<陽/陰-1	0	2	2	2	2
V/VI	腸内常住菌<陽/陰-1	0	2	2	2	2
V/VI	寄生虫/細菌<陽/陰-1	0	2	2	2	2
V/VI	細菌<陽/陰-1	0	2	2	2	2
V/VI	真　菌<陽/陰-1	0	2	2	2	2
V/VI	寄生虫/ウイルス<陽/陰-1	0	2	2	2	2
V/VI	ウイルス<陽/陰-1	0	2	2	2	2

“自然治癒力を高めるシステム、2012年モデル「アセンション・プログラム」”が完成しました。
人の天命として、肉体的限界を越えて、意識を進化させ、より大きく魂の成長をとげるには、ライトボディ(光る身体)の、アセンション(次元上昇)が必要とされます。五次元、六次元(神)のエネルギー循環領域システム「多次元経絡意識波動プログラム」は、神から授けられた、言霊と数霊を活用した生命体の自然治癒力を高める「アセンション・プログラム」です。このプログラムから誕生した「プラズマ・エネルギー・コーザルシート」のマークを八重ねで、エネルギーが3乗にアップしました、「アセンション祈念・プラズマ・モデル超e守り/13年版」を活用されて、力強い良き言霊を発して、気・生命エネルギーを高めて霊魂を磨いて行かれるならば、天命に沿った充実した人生を実現される事と確信いたします
○霊障を防ぎ、シータ波をはじめ脳波を活性化させ認知症やアルツハイマーの予防とアセンションを祈念しております。

アセンション祈念
プラズマ・モデル 超e守り-L
運気上昇護符
2013年版
自　2012年10月～
至　2013年12月末
※肌守り護符
（金箔、ラミネート仕上）

＊ごめんなさい
＊許してください
＊ありがとうございます
＊愛しています
慈しみのココロで、四つの言霊を善なる声で唱えますと、αチャクラωチャクラを通して光の言語が届きます。善い意識の気エネルギーを高めて霊魂を磨き、心願成就のココロの意識であなたの人生は好転します。

旧の護符は祓い清めて神上げの波動修正を行います。 下記へ返納願います。
〒937-0806 魚津市友道1189－3
富多神 本社
0120-49803-0　f－hado.com

「金箔マークがプラズマと光に共鳴して黒光りした瞬間の映像です」

運気上昇護符

※肌守り護符について、超eエネルギーで経絡の気脈を整え、免疫を高かめます。悪魔・サタンや悪霊（霊障）の侵入を防ぐ働きをされる、道反神（チガエシノカミ）、祓戸乃神（ハライドノカミ）、歳徳神の波動エネルギーを持つ護符は、あなたを守り、運気を上昇させます。

愛　称「超e守り－L」　名刺サイズ　1枚　￥3，000
肌守り護符　表は金箔紋、文字付カラー印刷　ラミネート・コーティング仕上げ

プラズマ・モデル
超e守り-S
運気上昇護符
2013年版
自　2012年10月～
至　2013年12月末
※結界護符 （貼付用）
※交通安全お守り
※肌守り
旧の護符は祓い清めて
神上げの波動修正を行います
下記へ返納願います。

〒937-0806
魚津市友道1189－3
富多神 本社
0120-49803-0

運気上昇護符

愛　称「超e守り－S」　1枚　￥1，000

＊結界護符（貼付用）　＊交通安全お守り　＊肌守り
表はカラー印刷　ラミネート・コーティング仕上げ
寸法35mm×60mm　お守り袋に入れます

結界護符について

お住いの東西南北の正中は、神様、仏様ご先祖霊の通り道、貴門と言われております。 結界護符は、貴門と鬼門・裏鬼門の中心の天井近くに貼り付けて下さい。悪魔・サタンや悪霊（霊障）の侵入を防ぐ働きをさせる、道反神（チガエシノカミ）、祓戸乃神（ハライドノカミ）、歳徳神の波動エネルギーを持つ護符は、自宅や会社、商店の結界として働き運気を上昇させます。

0120-49803-0
Email：2059futakami@f-hado.com
http://www.f-hado.com/energy/emamori.html

フタカミエネルギー研究会 （有）富多神

（※註記）

プラズマ・モデルタイルに和合、共鳴する、正の電荷/負の荷電粒子を持つ物質と、負の電荷/正の荷電粒子を持つ反物質様として波動測定された項目を例記しました。

ちなみに、反物質の陽電子、反陽子、反中性子、反水素等は、プラズマ・モデルタイルに共鳴しないと波動測定されました。

http://www.f-hado.com/energy/magokorosheet.html

http://www.f-hado.com/energy/img/utyuron.pdf

http://www.f-hado.com/energy/emamori.html

参考　説・・・・

物質が、どんな知性でも生み出せると思うのは大きな間違いです。

原子と分子で構成された物質は磁力と電子インパルスの伝導力を超越する ことは、できないのですから。

Antimatter　反物質

物質と反物質が衝突すると対消滅を起こし、質量がエネルギーとなって放出される。これは反応前の物質・反物質そのものが完全になくなってしまい、消滅したそれらの質量に相当するエネルギーがそこに残るということである 。1g の質量は約 9×10^{13} (90 兆) ジュール のエネルギーに相当する。ただし 発生するニュートリノが一部のエネルギーを持ち去るため、実際に反物質の対消滅で発生するエネルギーは、これより少なくなると言われる。

反物質は自然界には殆ど存在しないので、人工的に作らねば得ることが難しい。非常に高いエネルギーを持つ粒子どうしを衝突させると、多くの粒子が新たに生成されることは既に知られているが、これは、粒子が衝突前に持っていたエネルギーがそれに相当する質量に変わるためである。物質と反物質の衝突とは逆の事が起きていることになるので、それによって生成される粒子の中に反粒子が実際に含まれている。そのため現在では、人工的に高エネルギーの粒子を、粒子加速器という非常に巨大な装置を使って作り出し、それらを衝突させて反粒子を作りだし捕獲することで反粒子を得ている。

http://ja.wikipedia.org/wiki/%E5%8F%8D%E7%89%A9%E8%B3%AA

生命体の自然治癒力を高める「五次元/六次元のエネルギー循環領域システム」

多次元 経絡意識波動プログラム

原初2004/4/13　改編2010/11/17　フタカミエネルギー研究会　川形　壽隆

13層迄と14層の意識（後半）は他の民間治療家の概念に基きました。（三次元モデル）　14層から川形モデル、多次元経絡意識波動プログラムです。

	対応する骨	対応する神経	対応する腺	個人的体験	発達	時間支配能力	空間移動能力	マイナス感情		
表層				現在	知識・智恵	±一週間		↓ ストレス ↓		
1層		大脳皮質	側脳室	高校	情動	±一　年		苛立ち		
2層	頭骸骨	大脳辺縁系	視床・松果体	小学高学年～	運動・行動	±三　年	地域レベル	妄想		
3層 陰		脳　幹	視床下部・下垂体	～中学	意欲			抑鬱		
4層 陽	頚　椎	頚椎神経	甲状腺	4歳～小学低・中		±十　年	自分の行動	やきもち		
5層	胸椎・肋骨	胸椎神経	胸腺・心臓	0歳～3歳	同情・思いやり	±三十年	速度up	懐疑心・不信		
6層	腰　椎	腰椎神経	腹腔神経(脾臓)	お腹の中・祖父母	肉体維持	±百　年		心配		
7層	仙椎・骨盤	仙椎神経	性腺・副腎	ご先祖・染色体	運命を自分で変えられる事に気付く	±三百年	国内レベル	恐怖 怒り 絶望		
8層 陽	尾　椎	尾骨神経	回転(下肢)	民族(国家)	自己実現	±千　年	大陸レベル	↓ﾏｸﾞﾈﾃｨｯｸ・ﾋｰﾘﾝｸﾞ		
9層				人類	使命・天命	±30万年	地球レベル	物質的身体		
					:（初期）		（大陸間ﾚﾍﾞﾙ）			
10層				地球	:（中期）	±十億年	地球ﾞ月間ﾚﾍﾞﾙ	1層から13層迄		
11層				太陽系	▼（末期）	±30億年	惑星間レベル	経絡系		
12層				銀河系	意識（前半）	±百億年	銀河間レベル	↑		
13層	以上13層までは、三次元モデルと呼称します。			宇宙	意識（中盤）	±300億年	宇宙レベル	↑　↑		

14層より「気」に共鳴する、川形モデルの、四次元から二十八次元迄の多次元経絡意識波動プログラムです。

14層	第1･9胸椎、黄	トロポニン、血液循環	鉄･赤血球･赤色骨髄･トロンボクサン	（他の説時空間・無∞）	{意識(後半)}	四次元、気	BC-008	↓		
15層	足関節	排泄分泌･体毛	忍耐寛容、慈に近い優しさ、情熱			五次元、気	BC-009	肉　体		
16層	ﾋﾞﾀﾐﾝA、皮膚	茶、知覚神経	気品･自愛、平常心･ﾊﾞﾗﾝｽ感覚			六次元、気	BC-007	↑経絡系		
17層	ドパミン	アセチルコリン	尊厳、信頼、ﾘｰﾀﾞｰｼｯﾌﾟ、責任感	ﾌｫﾄﾝ	Something Great	七次元、気	EC-088	↓肉体/ｴｰﾃﾙ体	1	
18層	第3頚椎	緑、迷走神経	陰イオン、肯定的、リラックス	同上	イヤシロチ	八次元、気	EC-077	接触面	2	
19層	ﾋﾞﾀﾐﾝE	人を纏める能力	信念、理想、勇気ｼｮｯｸ、決断力	同上	イヤシロチ	九次元、気	EC-099	↑　経絡系	2	
20層	ﾋﾞﾀﾐﾝC、亜鉛	ｾﾚﾝ･神経衰弱	深い信頼、克己心、不信、偏見	同上	イヤシロチ	十次元、気	ET-851	↓	3	
21層	脊髄神経･松果体	脳下垂体、F682	赤色骨髄、脳性麻痺、気力	同上	イヤシロチ	十一次元、気	ET-953	ｴｰﾃﾙ体･ﾁｬｸﾗ	3	
22層	子宮、伏在神経	胸椎神経、D386	珪素、金	同上	イヤシロチ	十二次元、気	ET-663	↑	3	
23層	頚･紫外線	頚椎神経	白金、紫、青	同上	イヤシロチ	十三次元、気	ET-571	↑	4	
24層	脳、脊髄組織	正中神経	赤、炭素、セリン、リチウム	同上	イヤシロチ	十四次元、気	ET-431	ｴｰﾃﾙ体･ﾁｬｸﾗ	4	
25層	骨、橈骨神経	反回･末梢神経	ゲルマニウム、創造性豊かな	同上	イヤシロチ	十五次元、気	ET-786	↑	4	
26層	肺経、肺、緑	松果体、脊髄神経	F682、白金、鼻､皮膚､気管	同上	イヤシロチ	十六次元、気	AT-672	↓	5	
27層	肝経、目	視神経、知覚神経	体液血液、ﾘﾝﾊﾟ液、白血病、粘膜液系	同上	イヤシロチ	十七次元、気	AT-486	ｱｽﾄﾗﾙ体･ﾁｬｸﾗ	5	
28層	口歯舌、味覚	胆経胃経、大小腸経	脾経ｵﾚﾝｼﾞ、亜鉛炭素男性ﾎﾙﾓﾝ	同上	イヤシロチ	十八次元、気	AT-558	↓	5	
29層	心臓、血管器	神経心臓、心筋	筋肉組織、血液循環、ｸﾞﾙﾀﾐﾝ酸、覇気	同上	イヤシロチ	十九次元、気	AT-335	↓	6	
30層	甲･副甲状腺	心包･肝経、粘液系	ﾄﾞﾊﾟﾐﾝ大脳皮質海馬、有能、ｽﾄﾚｽ	同上	イヤシロチ	二十次元、気	AT-658	↓	6	
31層	膵臓組織、血糖	糖尿病、膀胱経	視力、血液、血圧、赤血球、肯定的	同上	イヤシロチ	二十一次元、気	AT-217	ｱｽﾄﾗﾙ体･ﾁｬｸﾗ	6	
32層	睾丸、卵巣子宮	三焦経、迷走神経	陰茎、胸乳房、白血球、ﾘﾝﾊﾟ球	同上	イヤシロチ	二十二次元、気	AT-731	↑	6	
33層	経絡･督脈	撰竹、晴明、07787	胸骨柄･横隔膜（腰椎部）、有能	同上	イヤシロチ	二十三次元、気	KT-893	↓	7	
34層	督脈･腎組織	中印、幽門、不溶	卵巣ﾎﾙﾓﾝ、胸部神経叢呼吸中枢	同上	イヤシロチ	二十四次元、気	KT-024	ﾒﾝﾀﾙ体･ﾁｬｸﾗ	8	
35層	経絡･任脈	風府、あもん、天柱	肩ぐう、期門、日月、章門、大椎、肩井	同上	イヤシロチ	二十五次元、気	KN-952	↑	8	
36層	無限大＝∞	遠赤外線、プラズマ、半導体、質量、素粒子、DNA/RNA、万能細胞		同上	イヤシロチ	二十六次元、気	88-888	コーザル体ﾁｬｸﾗ	9 10 11	
37層	自然治癒力	魂、中心太陽、地球、地球の中心、グランディング、神、霊、		同上	イヤシロチ	二十七次元、気	KC-099	ケーシ体チャクラ	12	
前頭葉イオン発生機能部位	同体転生、神聖の注入、遺伝子前駆物質、宇宙ソマチットグリット、αチャクラ(光の言語)、ωチャクラ、ゼロ磁場、									
38層	宇宙意識生命体	元無極躰主王大御神、造化氣萬男神、天之御中主神、天豊医師主尊、天照皇大神宮、建速須佐乃男尊		同上 天の五行神	イヤシロチ	二十八次元、気	CH-999	コアード体ﾁｬｸﾗ		

↓ライトボディのレベルの昇順↓

三次元　四次元　五次元　六次元

次元領域	環状鎖		ソマチット・サイクル	微生物	環境ホルモン
	準結晶	糖 脂肪 蛋白質 アミノ酸 細胞 筋肉 骨 神経 エネルギー 意識 感情 質量 素粒子 DNA・水 体液・血液 脳/(半導体) プラズマ 光・気・生命	ソマチット準結晶 ①原始相 ②胞子 ③二重胞子 〈参考図〉 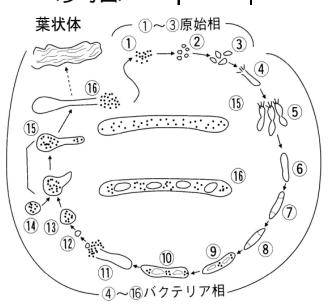	ウイルス 真菌 準結晶	金属毒素 準結晶
0点	アモロファス	13チャクラ 経絡 生体 磁気・磁場 電磁場 電界・電荷	ソマチットアモロファス ④バクテリア ⑤二重バクテリア	ウイルス 真菌 アモロファス	金属毒素 アモロファス
1線	葉状体	電解液 電解質 表面・内部	ソマチット葉状体	ウイルス 真菌 葉状体	金属毒素 葉状体
2面	結晶	活動電位 システム 熱雑音	ソマチット結晶 ⑥⑦⑧⑨⑩	ウイルス 真菌 結晶	金属毒素 結晶
3空間	コロイド	雑音温度 生体電流 直流・交流	ソマチットコロイド ⑪破裂	ウイルス 真菌 コロイド	金属毒素 コロイド
4時空間	ゲル	未来世 今　世 過去世 同体転生	ソマチットゲル ⑫⑬⑭⑮⑯	ウイルス 真菌 ゲル	金属毒素 ゲル
5平行宇宙	グリット	αチャクラ ωチャクラ 霊魂 地球(中心)	ソマチットグリット	ウイルス 真菌 グリット	金属毒素 グリット
6虚空	環状鎖	太陽(中心) 宇宙	ソマチット環状鎖	ウイルス 真菌	金属毒素 環状鎖
6コアリーフ	環状鎖	古代 超古代 完全中庸	古代ソマチット 超古代ソマチット 古代ソマチットグリット 超古代ソマチットグリット 宇宙ソマチット 宇宙ソマチットグリット	環状鎖	環状鎖

プラズマ宇宙論

プラズマ・エネルギー比例共鳴波動測定リスト

2012/9/30

プラズマが銀河を形成する

フタカミエネルギー研究会

*+磁力と電子インパルス:　+magnetism and electronic impulse

原初2011年12月27日作成。「プラズマモデル」測定値を、2012年9月30日追加、更新

次元領域	反物質様:▼	磁気リコネクション	*+磁力インパル	プラズマモデル	プラズマ真魂	コーザルシート
V/VI	宇　　宙/陰陽	2	2	2	2	2
V/VI	銀河/陰陽	8	16	8	2	2
V/VI	磁気リコネクション/陽　▼	8	16	8	4	2
V/VI	電磁気エネルギー/陽　▼	8	16	8	4	2
V/VI	太　　陽/陰陽	2	2	2	2	2
V/VI	太陽の中心/陰陽	2	2	2	2	2
V/VI	太陽光線/陽	8	16	8	4	2
V/VI	太陽のエネルギー/陰陽	8	16	8	4	2
V/VI	超高速移動(ワープ)/陰陽▼	8	16	8	4	1
V/VI	空間/場のエネルギー/陰陽	2	2	2	2	2
V/VI	生命ｴﾈﾙｷﾞｰ/陰陽　▼	2	16	8	4	2
V/VI	時間エネルギー/陰陽　▼	2	16	8	4	1
V/VI	プラズマ/陰陽　▼	2	16	8	4	2
V/VI	プラズマ･フイラメント/陽	2	2	0	0	0
V/VI	フイラメント/陽	2	2	0	0	0
V/VI	高速プラズマ流/陽	2	2	0	0	0
V/VI	遅進衝撃波(数霊暗号99307)	8	2	0	0	0
V/VI	半導体/陰陽(暗号99307)　▼	8	16	8	4	1
V/VI	プラズマ・ジェット/陽	2	2	0	0	0
V/VI	プラズモイド/陽	2	2	0	0	0
V/VI	ビルケラン電流/陽	2	2	0	0	0
V/VI	流動電位/陰陽	2	2	2	2	2
V/VI	荷電粒子/陰陽	2	2	2	2	2
V/VI	正の荷電粒子/陽	2	2	2	2	2
V/VI	負の荷電粒子/陰	2	2	2	2	2
V/VI	荷電粒子線/陰陽　▼	0	2	2	2	2
V/VI	重荷電粒子線/陰陽　▼	0	2	2	2	2
V/VI	高速粒子線(粒子線)/陰陽▼	0	2	2	2	2
V/VI	素粒子/陰陽	2	16	8	4	2
V/VI	質　量/陰陽	2	16	8	4	2
V/VI	量　子/陰陽	2	2	2	2	2
V/VI	陽　子/陰陽	2	2	2	2	2
V/VI	陽子線/陰陽　▼	2	2	2	2	2
V/VI	中性子/陰陽	2	2	2	2	2
V/VI	中性子線/陰陽　▼	2	2	2	2	2
V/VI	中間子/陰陽	2	2	2	2	2
V/VI	中間子線/陰陽　▼	2	2	2	2	2

次元領域	反物質様:▼	磁気リコネクション	*+磁インパル	プラズマモデル	プラズマ真魂	コーザルシート
V/VI	意識/陽	2	2	2	2	2
V/VI	意識生命体・魂/陽	2	2	2	2	2
V/VI	宇宙と意識生命体・神/陰陽	2	2	2	2	2
V/VI	造化氣萬男之大神/陰陽	2	2	2	2	2
V/VI	伊邪那岐之大神/陰陽	2	2	2	2	2
V/VI	天之御中主之大神/陰陽	2	2	2	2	2
V/VI	天照日之大神/陰陽	2	2	2	2	2
V/VI	天疎(ｱﾏｻｶﾘ)日向津比売之大神	8	16	8	2	2
V/VI	天照皇大神/陰陽	8	16	8	2	2
V/VI	北斗星・北斗七星/陰陽	2	2	2	2	2
V	観　音/陰陽	2	2	2	2	2
V	佛・釈迦/陰陽	2	2	2	2	2
V	イエス・キリスト/陰陽	2	2	2	2	2
V	モーセ/陰陽	2	2	2	2	2
V	ムハンマド・イブン(マホメット)/陰陽	2	2	2	2	2
V/VI	光子ﾌｫﾄﾝ/陰陽	2	2	2	2	2
V/VI	核	2	16	8	4	1
V/VI	重　力/陰陽	−1	2	2	2	2
V/VI	重力波エネルギー/陰陽	−1	2	2	2	2
V/VI	運動エネルギー/陰陽	0	2	2	2	2
V/VI	霊/陰　▼	0	2	2	2	2
V/VI	イオン/陰陽　▼	2	2	2	2	2
V/VI	マイナスイオン/陰	2	2	8	4	2
V/VI	プラスイオン/陽	2	2	2	2	2
V/VI	氣/陰　▼	2	16	8	4	2
V/VI	地球/陰陽	2	2	2	2	2
V/VI	地球の中心/陰陽	2	2	2	2	2
V/VI	ゼロ磁場・グランディング/陰陽	2	2	2	2	2
V	天照月之大神/陰	2	2	2	2	2
V/VI	天疎(ｱﾏｻｶﾘ)月向津比古之神/陰	2	2	2	2	2
V/VI	月のエネルギー・建速須佐乃男神/陰	2	2	2	2	2
V	V次元の領域ｴﾈﾙｷﾞｰ循環ｼｽﾃﾑ	2	2	2	2	2
V/VI	V/VI次元の領域ｴﾈﾙｷﾞｰ循環ｼｽﾃﾑ▼	8	16	8	4	2

プラズマ宇宙論

プラズマが銀河を形成する

プラズマ・エネルギー比例共鳴波動測定リスト

*+磁力と電子インパルス：+magnetism and electronic impulse

2012/9/30

フタカミエネルギー研究会

次元領域	反物質様：▼	磁気リコネクション	*+磁力 インパルス	プラズマモデル	プラズマ真魂	コーザルシート
V/VI	電　子/陰	2	16	8	4	2
V/VI	電子線/陰-1　反物質▼	2	2	2	2	2
V/VI	宇宙線　▼	-1	2	2	2	2
V/VI	超短波放射線/陰-1　▼	0	2	2	2	2
V/VI	携帯電話等特殊電磁波/陰-1▼	0	2	2	2	2
V/VI	放射線毒素/陰-1	0	2	2	2	2
V/VI	放射能/陰-1	-1	2	2	2	2
V/VI	γガンマ線/陰-1　▼	0	2	2	2	2
V/VI	βベータ線/陰-1　▼	0	2	2	2	2
V/VI	αアルファ線/陰-1　▼	0	2	2	2	2
V/VI	ヨウ素/陰-1	0	2	2	2	2
V/VI	セシウム134/陰-1	0	2	2	2	2
V/VI	セシウム137/陰-1	0	2	2	2	2
V/VI	プルトニウム239/陰-1	0	2	2	2	2
V/VI	電磁放射線/陰-1　▼	0	2	2	2	2
V/VI	体内発生放射線/陰-1　▼	0	2	2	2	2
V/VI	Xエックス線/陰-1　▼	0	2	2	2	2
V/VI	レントゲン焼け/陰-1	0	2	2	2	2
V/VI	珪　素/陰陽	2	16	8	4	2
V/VI	炭　素/陰陽	2	16	8	4	2
V/VI	脳/陰陽	2	16	8	4	2
V/VI	αアルファ波(脳波)/陽	2	2	2	2	2
V/VI	生体脳波でのﾘﾗｯｸｽ効果/陽	2	2	2	2	2
V/VI	生体への温熱効果/陽	2	2	2	2	2
V/VI	血流促進効果/陽	2	2	2	2	2
V/VI	DNA/陰陽	2	16	8	4	2
V/VI	染色体/陰陽	2	2	2	2	2
V/VI	遠赤外線/陽　▼	0	88	88	88	88
V/VI	イヤシロチ/陰陽　▼	2	16	8	4	2
V/VI	エネルギー/陰陽　▼	2	16	8	4	2
V/VI	感　情/陰陽	2	2	2	2	2
V/VI	免疫/陰陽	2	19	19	19	19

次元領域	反物質様：▼	磁気リコネクション	*+磁力 インパルス	プラズマモデル	プラズマ真魂	コーザルシート
V	ダイオキシン/陰-1	0	2	2	2	2
V	活性酸素/陰-1	0	2	2	2	2
V	塩　素/陰陽	0	2	2	2	2
V	水銀毒/農薬/陰-1	0	2	2	2	2
V	化学物質過敏症/陰-1	0	2	2	2	2
V	ホルムアルデヒド/陰-1	0	2	2	2	2
V	アセトアルデヒド/陰-1	0	2	2	2	2
V	フェノブカルブ/陰-1	0	2	2	2	2
V	トルエン/陰-1	0	2	2	2	2
V	キシレン/陰-1	0	2	2	2	2
V	C8－C16脂肪族飽和炭化水素/陰-1	0	2	2	2	2
V	パラジクロロベンゼン/陰-1	0	2	2	2	2
V	エチルベンゼン/陰-1	0	2	2	2	2
V	スチレン/陰-1	0	2	2	2	2
V	クロルピリホス/陰-1	0	2	2	2	2
V	フタル酸ジーnーブチン/陰-1	0	2	2	2	2
V	テトラデカン/陰-1	0	2	2	2	2
V	フタル酸ジ-2-エチルヘキシル/陰-1	0	2	2	2	2
V	ダイアジノン/陰-1	0	2	2	2	2
V	総揮発性有機化合物(TVOC)/陰-1	0	2	2	2	2
V	ノナナール/陰-1	0	2	2	2	2
V	C8－C12脂肪族飽和アルデヒド/陰-1	0	2	2	2	2
V	シックハウス症候群/陰-1	0	2	2	2	2
V	ケトミウム属(寄生虫)/陰-1	0	2	2	2	2
V	トリコデルマビリデ(寄生虫)/陰-1	0	2	2	2	2
V	セルラーゼ/陰-1	0	2	2	2	2
V/VI	寄生虫/大腸菌(C091)<陽/陰-1	0	2	2	2	2
V/VI	腸内常住菌<陽/陰-1	0	2	2	2	2
V/VI	寄生虫/細菌<陽/陰-1	0	2	2	2	2
V/VI	細菌<陽/陰-1	0	2	2	2	2
V/VI	真　菌<陽/陰-1	0	2	2	2	2
V/VI	寄生虫/ウイルス<陽/陰-1	0	2	2	2	2
V/VI	ウイルス<陽/陰-1	0	2	2	2	2

遠赤外線放射率のＦＴＩＲ測定

No.　2071126

測　定　内　容

1．測定試料　プラズマ・エネルギーコーザルシート

2．測定温度　35℃

3．測定機種　JIR－E500

4．測定条件　分解能　16cm^{-1}

積算回数　200回

検知器　MCT

5．平均放射率

試料名	①	②
プラズマ・エネルギーコーザルシート	88.19	89.20

（単位％）

平均放射率の計算方法：
波長範囲①4～24ミクロン、②6～14ミクロンについて
放射率を積分して平均値を計算。

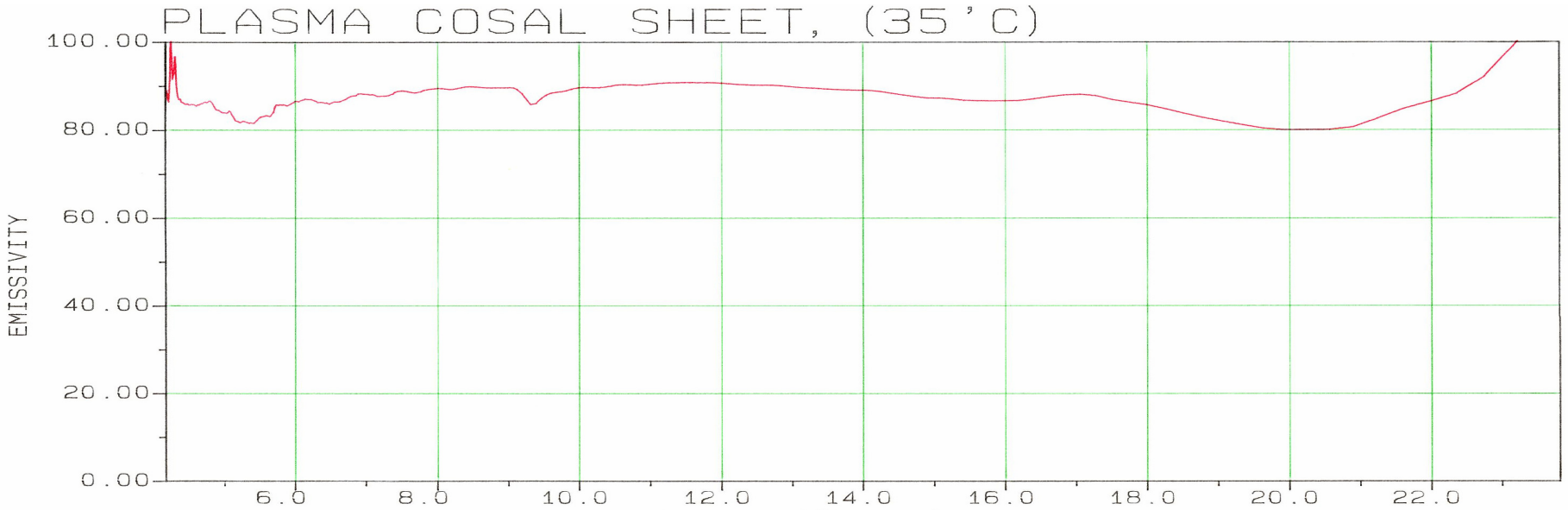

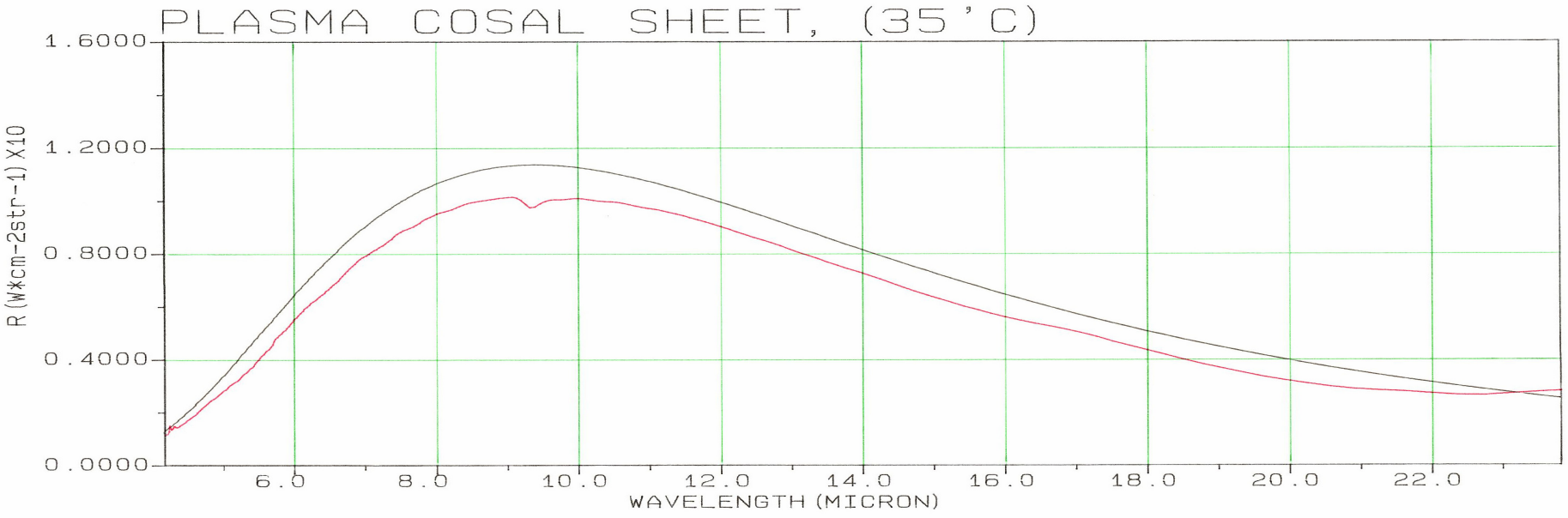

RESOL : 16cm-1
TEMP : 35
AMPGAIN : x16
P.INT : 8cm-1
SCANS : 200
S.SPEED : MCT
S.NUMBER: 146
M.DATE : 9/11/7

黒 体
試 料

原子灰・放射線消去テストのご報告致します。：2011年9月28日
庭の芝生の上のシートは、本日まで丸４日敷いておきました。

９月２４日	０．３６～１．０８	＊測定器　簡易放射線モニター
９月２７日	０．３０～０．８６	商品名：はかるっち
９月２８日	０．１７～０．６４	規格：ｉｐｔ’ａ

本日、庭に敷いてあったシートを両親と３人で全て水洗いしました。
シートを敷いておいたところの下に何か所も土が盛り上がっているところがあり、ミミズの穴のようで、シートに土がたくさんついていて驚きました。　ミミズも何かを感じたようです。

新しいシートの箱は本日発送しましたが、庭に使ったものは、お言葉に甘えて家族や英語教室の子ども達、また、必要と思われる人々に紹介して、ありがたく使わせていただきたいと思います。

梅エキスもありがたくいただきました。
とてもおいしくて子ども達も大喜びでした。

いろいろと救いの手を差し伸べてくださり、ありがとうございます。
家族一同感謝しております。

Ａ子

「シートの上」、原子灰・放射線エネルギー測定

試 験 結 果 報 告 書

№211S－516(1)
平成23年7月12日

有限会社 富多神　殿

遠赤外線応用研究会
〒542-0081　大阪市中央区南船場4-9-11

試験目的　1）プラズマ・エネルギー・コーザルシートを使用することで、天然放射性鉱石が発する放射線を消去できるかどうかを測定する。
2）測定完了後において、時間経過で放射性鉱石から放射線が消えているかを測測定する。

試験試料　プラズマ・エネルギー・コーザルシート

試験条件　1）試験日時　平成23年7月9日
2）試験環境　室温20℃　湿度46％
3）測定機器　GAMMA-SCOUT社製　Mirow型

試験方法　①あらかじめ放射線量が分かっている天然鉱石由来の鉱石粉末100gの放射線量をを確認のために測定する。
②30センチ四方の箱の内側6面にプラズマ・エネルギー・コーザルシートを貼る。
③箱の中心部に鉱石粉末100gを置き、ほぼ密閉状態にする。
④この状態を30分間保ち、上部の測定口に測定器をセットし、放射線量を測定する。同様に60分経過後も測定する。

試験結果　1. プラズマ・エネルギー・コーザルシートによる放射線消去能測定結果

	初期	30分後	60分後	除去率
放射線量	0.301	0.235	0.234	22.3%

(単位：μSv/Hr)

2. 測定完了後からの時間経過による放射線量測定結果

	10分後	60分後	24時間後
放射線量	0.231	0.227	0.223

(単位：μSv/Hr)

参考値：0.301μSv/Hr=2.637μSv/年

測 定 結 果 報 告 書

遠 赤 外 線 放 射 率 の Ｆ Ｔ Ｉ Ｒ 測 定

平成 19 年 9 月 13 日

有限会社 ハウズアンドライフ　殿

遠 赤 外 線 応 用 研 究 会

ご依頼いただきました表題の件についてご報告申し上げます

記

報告書No.　2071126

データ数　1組　（放射率、放射強度）
測定温度　35℃

本件についてのお問い合わせは下記にご連絡下さい

〒542-0081
大阪市中央区南船場4-9-11　順横ビル3F

遠 赤 外 線 応 用 研 究 会
TEL 06－6251－7619

試 験 結 果 報 告 書

No. 207F－ 2521
平成 19 年 9 月 4 日

有限会社 ハウズアンドライフ　殿

遠赤外線応用研究会
〒542-0081　大阪市中央区南船場4-9-11

試　　料　　プラズマ・エネルギーコーザルシート

測定機器　　神戸電波製　ION　TESTER　KST－900型

測定環境　　天候:　晴
室温:　21.4℃
湿度:　48%

結　　果

試　料	区　分	測定値(個/cc)
プラズマ・エネルギーコーザルシート	弱摩擦	89
	強摩擦	147

注）測定時の室内マイナスイオン数平均43個/cc

以上

マイナスイオンの推移

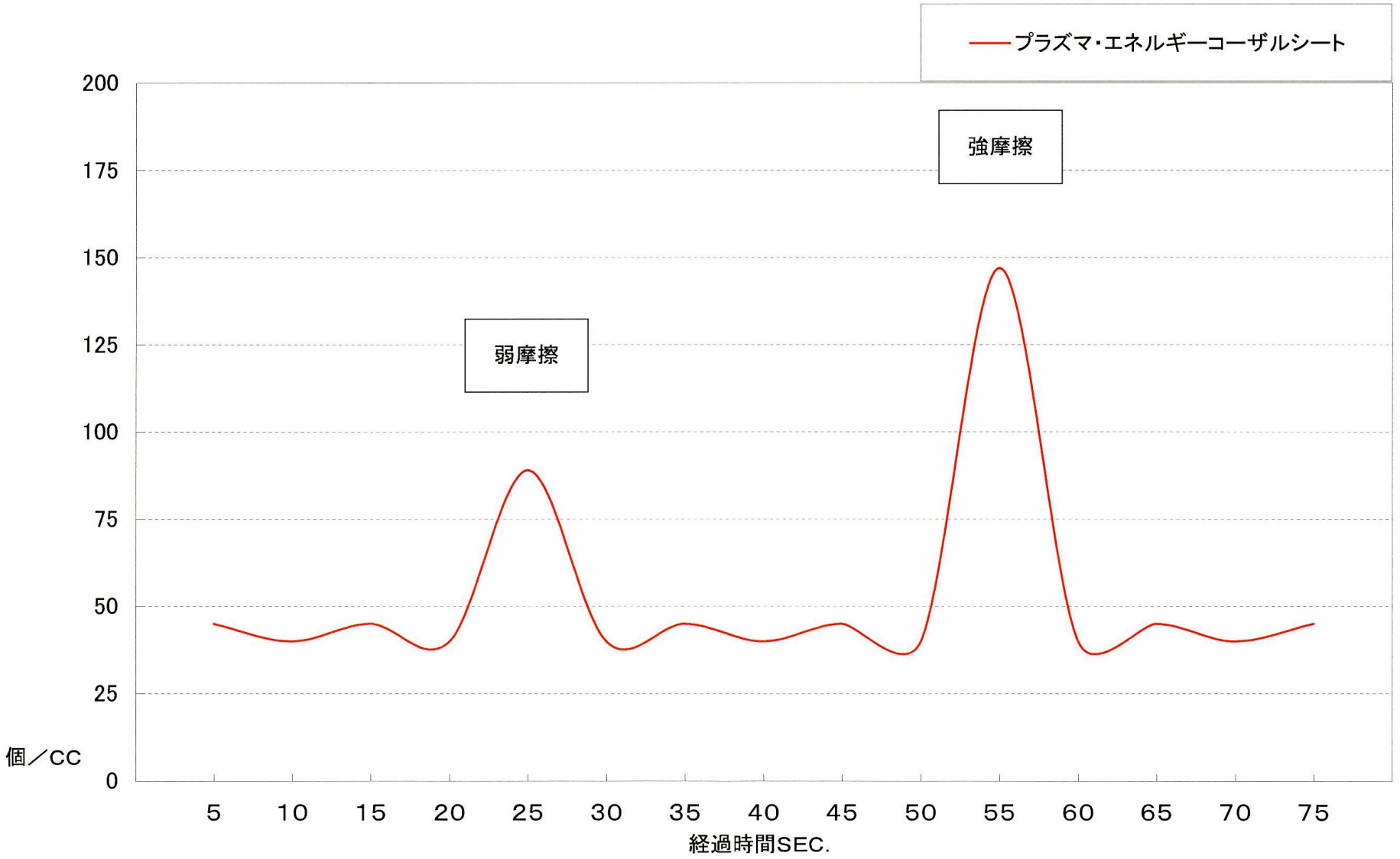
プラズマ・エネルギーコーザルシート
強摩擦
弱摩擦
200
175
150
125
100
75
50
25
0
個／CC
5
10
15
20
25
30
35
40
45
50
55
60
65
70
75
経過時間SEC.

試 験 結 果 報 告 書

No.211S－543
平成23年11月25日

有限会社 富多神　殿

遠赤外線応用研究会
〒542-0081　大阪市中央区南船場4-9-11

試験目的　1）プラズマ・エネルギー（Magokoro）真魂シートを使用することで、天然放射性鉱石が発する放射線を消去できるかどうかを測定する。
2）測定完了後において、時間経過で放射性鉱石から放射線が消えているかを測測定する。

試験試料　プラズマ・エネルギー（Magokoro）真魂シート

試験条件　1）試験日時　平成23年11月24日～25日
2）試験環境　室温20℃　湿度43%
3）測定機器　日立アロカメディカル社製　TCS-171B

試験方法　①あらかじめ放射線量が分かっている天然鉱石由来の鉱石粉末100gの放射線量をを確認のため測定する。
②30センチ四方の箱の内側6面にプラズマ・エネルギー（Magokoro）真魂シートを貼る。
③箱の中心部に鉱石粉末100gを置き、ほぼ密閉状態にする。
④この状態を30分間保ち、上部の測定口に測定器をセットし、放射線量を測定する。同様に60分経過後も測定する。

試験結果　1. プラズマ・エネルギー(Magokoro)真魂シートによる放射線消去能測定結果

	初期	30分後	60分後	除去率
放射線量	0.317	0.250	0.226	28.7%

（単位：μSv/Hr）

2. 測定完了後からの時間経過による放射線量測定結果

	10分後	60分後	24時間後
放射線量	0.225	0.221	0.216

（単位：μSv/Hr）

参考値：0.317μSv/Hr=2.777mSv/年

試 験 結 果 報 告 書

マ イ ナ ス イ オ ン 測 定 試 験

平成 23 年 11 月 21 日

有限会社 富多神　殿

遠赤外線応用研究会

ご依頼頂きました表題の件につきましてご報告申し上げます

記

報告書 No.211F－ 2739

本件についてのお問い合わせは、下記にご連絡下さい。

〒542-0081
大阪市中央区南船場4-9-11　順横ビル3F

遠 赤 外 線 応 用 研 究 会
TEL 06－6251－7619

試験結果報告書

No. 211F－ 2739
平成 23 年 11 月 21 日

有限会社 富多神　殿

遠赤外線応用研究会
〒542-0081　大阪市中央区南船場4-9-11

試　　料　　プラズマ・エネルギー(Magokoro)真魂シート

測定機器　　フィーサ(株)製　エアーイオンカウンター　FIC-2000

結　　果

試　料	測定値(個/cc)	
	プラスイオン	マイナスイオン
プラズマ・エネルギー (Magokoro)真魂シート	24	417

注) 測定時の室内マイナスイオン数平均43個/cc

以上

FISA

AIR ION COUNTER

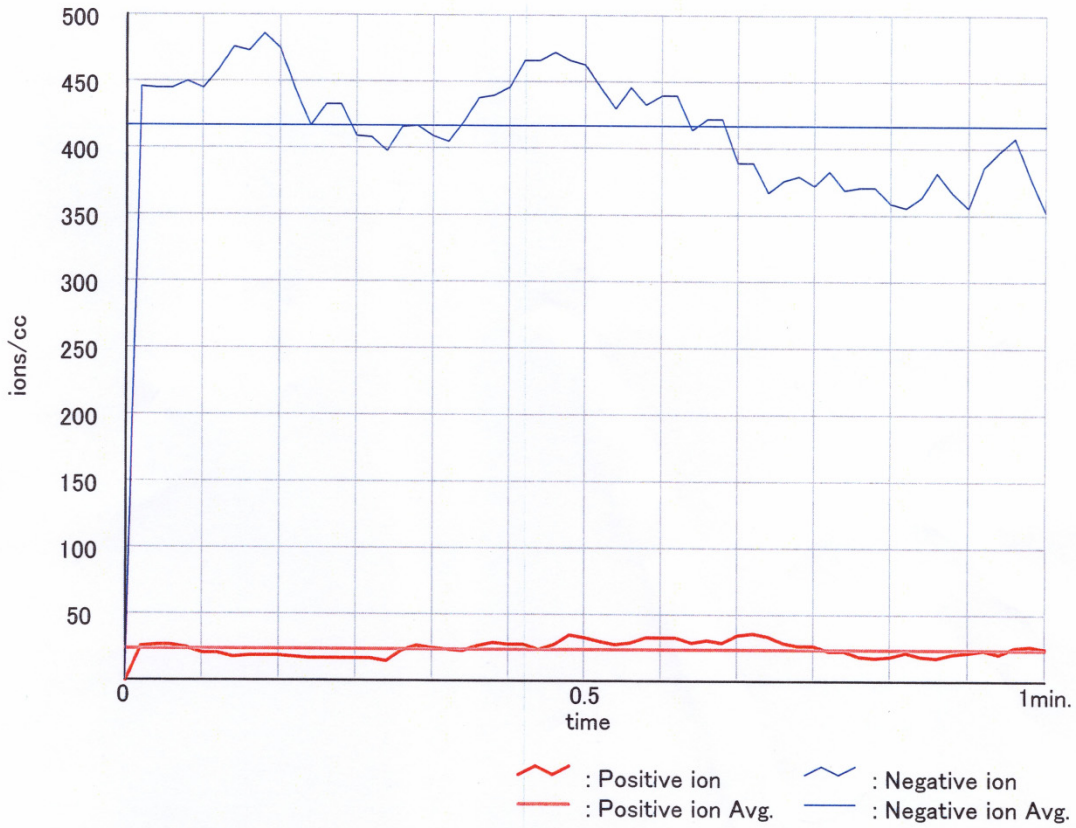

Date	:21-Nov-2011
Time	:14:43
Temperature	:23℃
Humidity	:21%
Measuring Time	:1 min.
Positive ion Avg.	:24 ions/cc
Negative ion Avg.	:417 ions/cc
Difference Negative ion	:393 ions/cc

Notes

プラズマ・エネルギー
(Magokoro)真魂シート

試 験 結 果 報 告 書

№212S－ 565
平成24年7月30日

有限会社 富多神　殿

遠赤外線応用研究会
〒542-0081 大阪市中央区南船場4-9-11

試験目的　プラズマモデル陶器タイルを使用することで、天然放射性鉱石が発する放射線をどの程度消去できるかを測定する。

試験試料　プラズマモデル 陶器タイル

試験条件　1）試験日時　平成24年7月28日
2）試験環境　室温24℃　湿度38％
3）測定機器　日立アロカメディカル社製 TCS-171B

試験方法　①あらかじめ放射線量が分かっている天然鉱石由来の鉱石粉末を2リットルの水道水に投入し、放射線濃度が1.0μSv/hrになるように調合し、初期試料水とする。
②その試料水2リットルを、パン型容器に移す。
③2リットル入りパン型容器にプラズマモデル陶器タイルを1枚浸漬させ、30分後、60分後の放射線量を測定する。
この場合、試料水を随時軽く撹拌させる。

試験結果

プラズマモデル陶器タイル使用による放射線消去能測定結果

	初期	30分後	60分後	除去率
放射線量	1.02	0.89	0.71	30.4％

（単位：μSv/hr）

参考値：1.02μSv/hr＝8.935mSv/年

試験結果報告書

No. 212F－ 2748
平成 24 年 7 月 30 日

有限会社 富多神　殿

遠赤外線応用研究会
〒542-0081　大阪市中央区南船場4-9-11

試　　料　　プラズマモデル 陶器タイル

測定機器　　(株)エコ・ホリスティック製　イオンカウンター　EB-12A

測定環境　　天候:　晴
室温:　24.0℃
湿度:　38%

結　　果

区　分	経過時間(秒)	測定値(個/cc)
		プラズマモデル 陶器タイル
静　置	20	508
	25	561
	30	530
	35	513
	40	585
	45	542
	50	567
	55	509
	60	539

注) 測定時の室内マイナスイオン数平均43個/cc

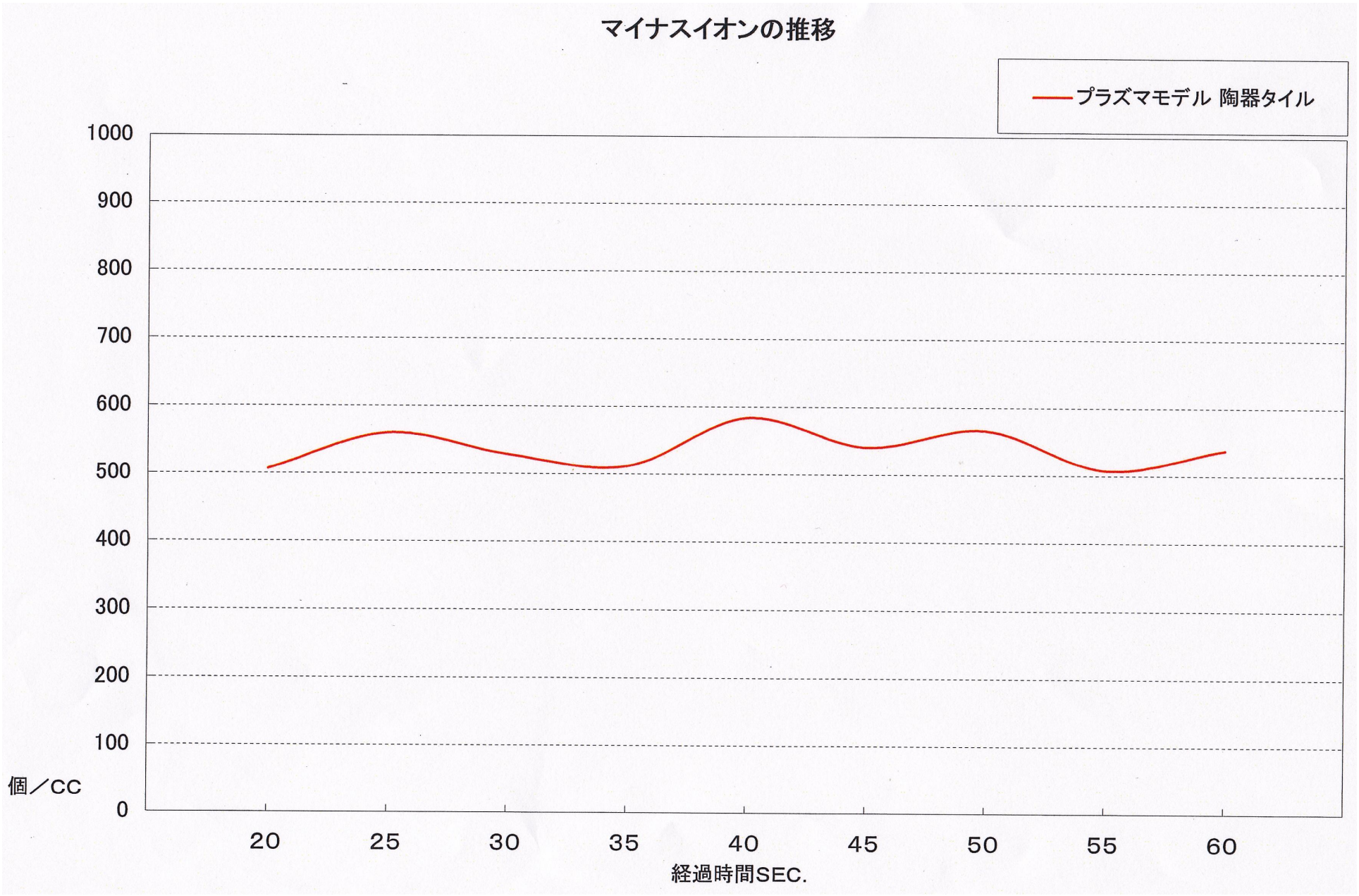
マイナスイオンの推移
プラズマモデル 陶器タイル
1000
900
800
700
600
500
400
300
200
100
0
個／CC
20
25
30
35
40
45
50
55
60
経過時間SEC.

エネルギーグッズ紹介
［意識レベル900以上の本物グッズ］

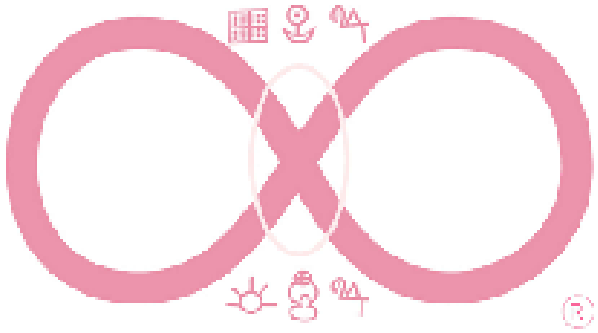	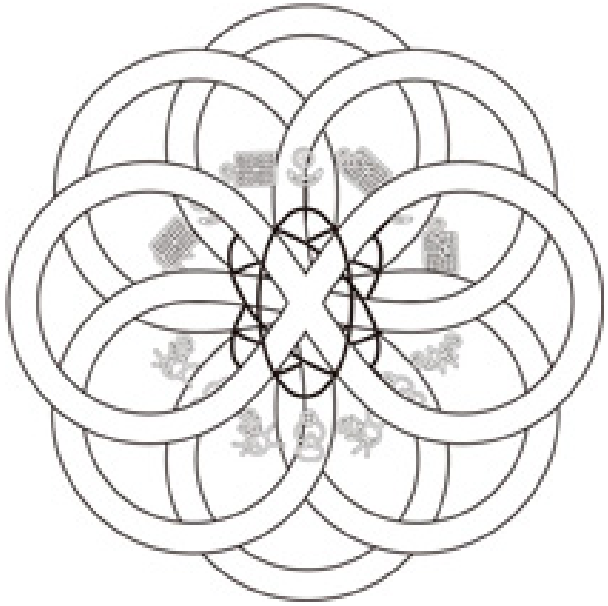	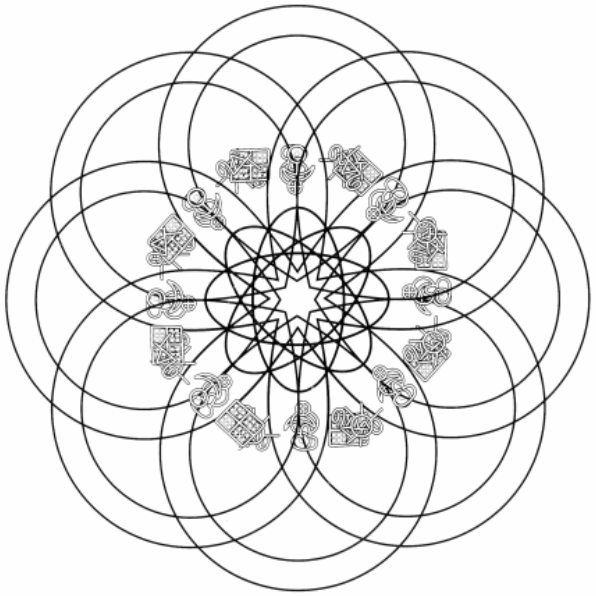
プラズマ・エネルギー コーザルマークシート	真魂（Magokoro） マークシート	プラズマ・モデル陶板 磁器タイル

場/空間をイヤシロチ化し＜家族を守るシェルター＞が
更にパワーアップ
“プラズマ・モデル陶板（陶器タイル）が誕生”

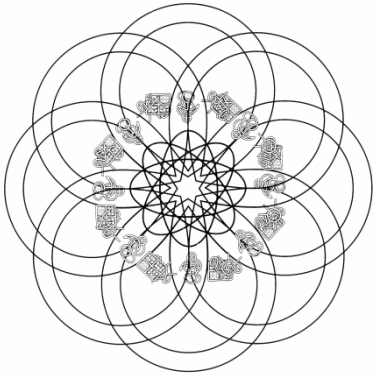

従来の「五次元領域のエネルギー」媒体コーザルシートから
マークを八重にしたことにより、
「五次元、六次元のエネルギー循環領域システム」媒体へとパワーアップ！
マイナスイオンの測定値は1分間に最高585(個/cc)と何と5.6倍に　!!

これにより、環境ホルモン等を常温原子転換により分解して、シックハウス化学物質過敏症の軽減力も更にパワーアップすることが可能となりました。

さらには、放射線量(1.02 μSv/hr)を60分後に除去率　30.4%
(時間エネルギーが8倍となり)消去することが測定により実証されました

プラズマ・モデル陶板（陶器タイル）の光子・フォトンのエネルギーは、
場/空間を浄化・活性化し、そこに住む(居る)人や動植物の
氣・生命エネルギーを高めて生命体の自然治癒力を高めます。

※詳細を確認ください→http://www.f-hado.com/energy/sheet.html

←プラズマ・エネルギー・コーザルシート

2012年8月6日　フタカミエネルギー研究会

「プラズマ・モデル」陶板

白施釉タイル使用、194×194×10t

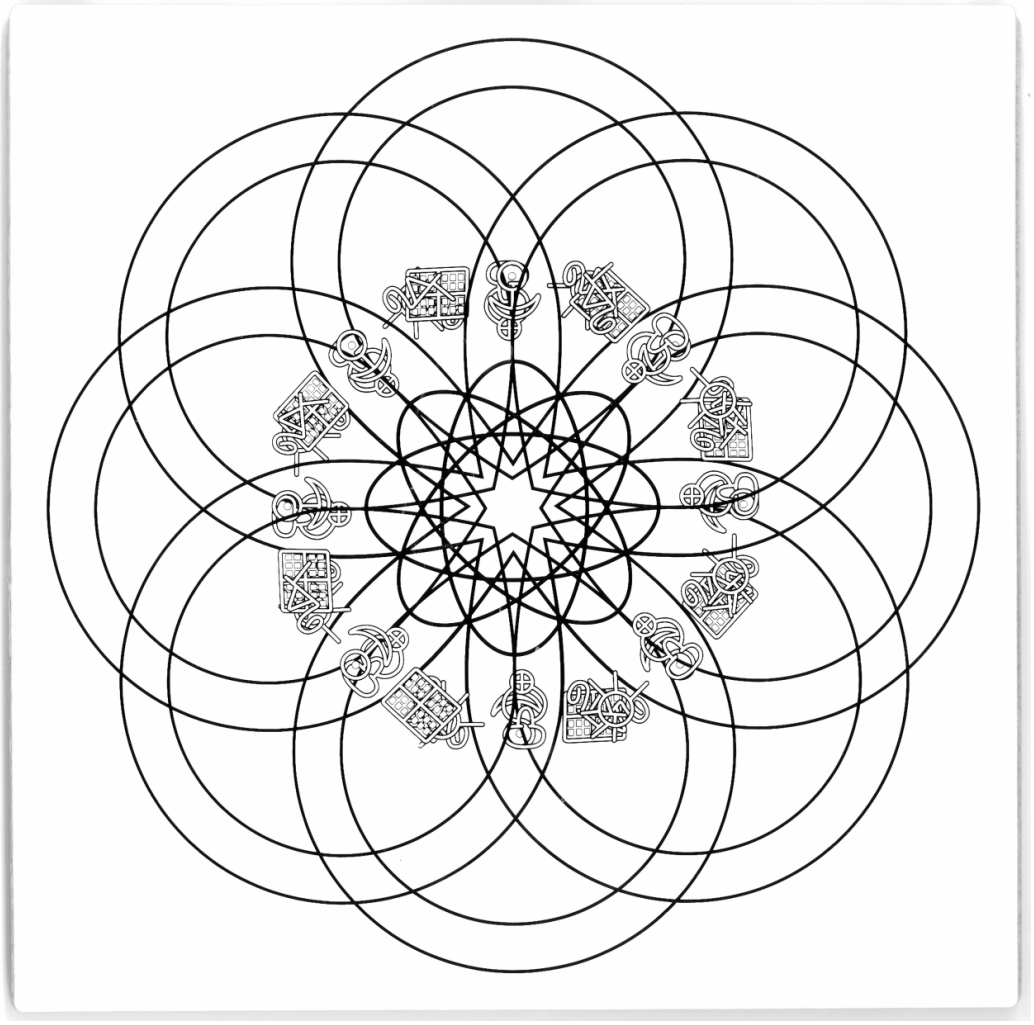

川形　壽隆 デザイン

絵柄:モノクロ色、背景色:白色、㈱アコーセラミック:上絵転写焼付(約800℃ H24/7/26)

「プラズマ・モデル」陶板(陶器タイル)

参考資料編

◇　2011年9月に原発から50km圏外の、放射線量1.08μSv/hrの放射能 汚染地内に在住する協力者に依頼して行った状況と波動測定リスト。・・・・・16スライド

第１回放射線消去テストのご報告致します。：2011年9月28日

庭の芝生の上のシートは、本日まで丸４日敷いておきました。
　９月２４日　0,36～1,08(AM10:00敷き込み時)
　９月２７日　0,30～0,86
　９月２８日　0,17～0,64(AM10:00シート撤去前)

＊測定器　簡易放射線モニター　商品名：はかるっち　　規格：ｉｐｔ’ａ

本日、庭に敷いてあったシート撤去して全て水洗いしました。
シートを敷いておいたところの下に何か所も土が盛り上がっているところがあり、ミミズの穴のようで、シートに土がたくさんついていて驚きました。

ミミズも何かを感じたようです。　　Ａ子

「柿の木」より、大気中の原子灰・放射線エネルギー測定　写真-1

「シートの下」、原子灰・放射線エネルギー測定　写真-2

「シートの上」、原子灰・放射線エネルギー測定　写真-3

「シート敷いて無い芝生」、原子灰・放射線エネルギー測定　写真-4

氏　名　　福島県　某氏邸　庭			相談日平成２３年９月２８日		
住　所　　福島原発　５０km 圏外			柿の木　（９月２７日撮影）		
相談したい内容：放射線の汚染度エネルギーを柿の木と大気中のエネルギー　写真で測定					
測　定　結　果		超短波　波動	-1)→)	ﾐﾈﾗﾙﾊﾞﾗﾝｽ波動	0)→)
免疫　波動	0)→)	ﾘﾝﾊﾟ球　波動	-1)→)	ﾎﾙﾓﾝﾊﾞﾗﾝｽ波動	0)→)
神経　波動	-1)→)	放射線毒素波動	-1)→)	ﾋﾞﾀﾐﾝﾊﾞﾗﾝｽ波動	0)→)
酸性度波動	-1)→)	放射能　波動	-1)→)	染色体　波動	-1)→)
血小板波動	-1)→)	ﾚﾝﾄｹﾞﾝ焼波動	-1)→)		

「測定基本コード」

柿の木
写真より測定
(写真-1)

原子灰　波動 放射線量　(-1	セシウム 137 波動 (-1	β　線　波動 γ　線　(-1	放射線毒素　波動 (-1	環境ホルモン波動 (-1
大気中原子灰/放 射線濃度波動(-1	農薬飛来反応波動 (-1	農薬汚染　波動 (-1	酸性度　波動 (-1	
染色体　波動 (-1	神　経　波　動 (-1	超短波放射能波動 (-1	リンパ球　波動 (-1	レントゲン焼　波動 (-1
(写真-2) シートの下を写 真測定　(芝面)	セシウム 137 波動 (0	β　線　波動 γ　線　(0	原子灰　波動 放射線量　(0	
(写真-3) シートの上を写 真測定	セシウム 137 波動 (+1	β　線　波動 γ　線　(+1	原子灰　波動 放射線量　(+1	
(写真-4) シート敷いて無 い芝面写真測定	セシウム 137 波動 (-1	β　線　波動 γ　線　(-1	原子灰　波動 放射線量　(-1	

担当者からのメッセージ　プラズマ・エネルギー・コーザルシートを敷きつめて、原子灰・放射線を消去

シートを敷きつめてイヤシロチを創出することで改善が可能です。

フタカミエネルギー研究所で、エネルギー媒体（コーザルシート）上で測定

氏　名　　福島県　某氏	相談日平成２３年９月２８日	
住　所　　福島原発　５０km 圏外	柿　（９月２７日採取）	

＊内容：放射線のエネルギー測定後に、プラズマ・エネルギー・コーザルシート上に

３０分経過後と６０分経過後の、放射線のエネルギー消去度をポイントで測定表示

測　定　結　果 30 分／60 分		超短波　波動	1)→1／1)	ﾐﾈﾗﾙﾊﾞﾗﾝｽ波動	0)→1／1)
免疫　波動	１)→2／2)	ﾘﾝﾊﾟ球　波動	1)→1／１)	ﾎﾙﾓﾝﾊﾞﾗﾝｽ波動	0)→1／2)
神経　波動	-1)→1／1)	放射線毒素波動	0)→１／１)	ﾋﾞﾀﾐﾝﾊﾞﾗﾝｽ波動	0)→１/２)
酸性度波動	-1)→1／1)	放射能　波動	-1)→０／１)	染色体　波動	0)→１/1)
血小板波動	1)→1／1)	ﾚﾝﾄｹﾞﾝ焼波動	0)→１／１)	自然治癒力波動	0)→0／1)

「測定基本コード」

原子灰　　波動 放射線量　(-1	セシウム 137 波動 (-1	β　線　　波動 γ　線　(-1	波動 (	波動 (
30 分経過後波動 原子灰/〃　(０	セシウム 137 波動 (0	β　線　　波動 γ　線　(0	波動 (	波動 (
６０分経過後波動 原子灰/〃　(+1	セシウム 137 波動 (+1	β　線　　波動 γ　線　(+1	波動 (	波動 (

担当者からのメッセージ　60 分経過後、食べてみました。美味しいです。

マイナス(－1　表示は　有害。　　ゼロ(0　表示は無害。

プラス(＋1　表示は　無害で、マイナス(-1　と相殺可能です。

氏　名	福島県　某氏		相談日平成２３年９月２８日		
住　所	福島原発　５０km 圏外		上水道水　（９月２７日取水）		
＊内容：放射線のエネルギー測定後に、プラズマ・エネルギー・コーザルシート上に					
30 分経過後と 60 分経過後の、放射線のエネルギーの消去度をポイントで測定表示					
測　定　結　果 30 分／60 分		超短波　波動	-1)→1／1)	ミネラルバランス波動	0)→0／1)
免疫　波動	１)→1／1)	リンパ球　波動	1)→1／１)	ホルモンバランス波動	0)→1／2)
神経　波動	-1)→1／1)	放射線毒素波動	-1)→１／１)	ビタミンバランス波動	0)→0／2)
酸性度波動	-1)→1／1)	放射能　波動	-2)→０／１)	染色体　波動	-1)→0／1)
血小板波動	1)→1／1)	レントゲン焼波動	0)→１／１)	自然治癒力波動	0)→1／1

「測定基本コード」

原子灰　波動 放射線量　(-2	セシウム 137 波動 (-2	β　線　波動 γ　線　(-2	放射線毒素　波動 (-1	シアナジン　波動 230　(-1
	ダイオキシン波動 (-1	環境ホルモン波動 (-1	塩　素　波動 (-1	塩素臭　波動 (カルキ臭)　(-1
	臭素毒　波動 (-1	酸性度　波動 (-1	血小板　波動 (-1	染色体　波動 (-1
	筋肉弛緩　波動 (-1	体液と血液の純度 波動　(-1	血液の酸化　波動 (-1	血液細胞　波動 (-1
	血液疾患　波動 (-1	血　管　波動 (-1	毛細血管　波動 (-1	血管皮膜　波動 (-1
	血管炎　波動 (-1	穢れ地　波動 (イヤシロチ)(-1	出　血　波動 (-1	鼻　血　波動 (-1
30 分経過後波動 原子灰/〃　(0	セシウム 137 波動 (0	β　線　波動 γ　線　(0		
６０分経過後波動 原子灰/〃　(+1	セシウム 137 波動 (+1	β　線　波動 γ　線　(+1		

担当者からのメッセージ　穢れ地に於いて、原子灰放射線被曝疾患として、鼻血の出る人が見られます。防ぐには、住宅や部屋、ベット等にプラズマ・エネルギーコーザル・シートを貼付け又は敷きつめてイヤシロチを創出することで改善が可能です。

氏名　　福島県　某氏	相談日平成２３年９月２８日	
住所　福島原発　50ｋｍ圏外	コース　２３年度産米　(白米)	

＊内容：原子灰・放射線のエネルギー測定後にプラズマ・エネルギー・コーザルシート上に30分経過後と60分経過後の、放射線のエネルギー消去度をポイントで測定表示

測　定　結　果 30分／60分		超短波　波動	-1)→1／1)	ﾐﾈﾗﾙﾊﾞﾗﾝｽ波動	0)→0／1)
免疫　波動	1)→1／1)	ﾘﾝﾊﾟ球　波動	1)→1／1)	ﾎﾙﾓﾝﾊﾞﾗﾝｽ波動	0)→1／2)
神経　波動	-1)→1／1)	放射線毒素波動	-1)→1／1)	ﾋﾞﾀﾐﾝﾊﾞﾗﾝｽ波動	0)→0／2)
酸性度波動	-1)→1／1)	放射能　波動	-2)→0／1)	染色体　波動	-1)→0／1)
血小板波動	1)→1／1)	ﾚﾝﾄｹﾞﾝ焼波動	0)→1／1)	自然治癒力波動	0)→1／1

「測定基本コード」

原子灰　波動 放射線量　(-2	セシウム137波動 (-2	β　線　波動 γ　線　(-2	放射線毒素　波動 (-1	シアナジン　波動 230　(-1
波動 (	ダイオキシン波動 (-1	環境ホルモン波動 (-1	塩　素　波動 (-1	塩素臭　波動 (カルキ臭)　(-1
波動	臭素毒　波動 (-1	酸性度　波動 (-1	血小板　波動 (-1	染色体　波動 (-1
	筋肉弛緩　波動 (-1	体液と血液の純度 波動　(-1	血液の酸化　波動 (-1	血液細胞　波動 (-1
	血液疾患　波動 (-1	血　管　波動 (-1	毛細血管　波動 (-1	血管皮膜　波動 (-1
	血管炎　波動 (-1	穢れ地　波動 (イヤシロチ)(-1	出　血　波動 (-1	鼻　血　波動 (-1
30分経過後波動 原子灰/〃　(0	セシウム137波動 (0	β　線　波動 γ　線　(0	波動 (	波動 (
６０分経過後波動 原子灰/〃　(+1	セシウム134波動 (+1	β　線　波動 γ　線　(+1	波動 (	波動 (

担当者からのメッセージ　穢れ地に於いて、原子灰放射線被曝疾患として、鼻血の出る人が見られます。防ぐには、住宅や部屋、ベット等にプラズマ・エネルギーコーザル・シートを貼付け又は敷きつめてイヤシロチを創出することで改善が可能です。

第2回原子灰・放射線消去テスト用として、下記を送りました。

・上水道水　　・ミミズの跡の芝土
・シートを敷かなかった所の芝土　　・花壇の花と土

(2011年10月5日 9:27　A子様メール)

庭の線量(第1回消去テストから7日後)を昨夕計りましたが、シートを敷いていた芝生(ホットスポット)のところは、降灰の影響(焼却場が3.5kにあり)と見られ、放射線量が最高1.9マイクロシーベルトになっていました。

シートを敷いていないところは庭の端の方ですので、もともと最高でも0.5位のところですが、昨日も変わらずその位でした。花壇も0.3～0.6位です。

A子(小学生と幼稚園児の2児の母親)

第2回　放射線消去テスト

2011年10月13日（於・実験室）

上水道水
（瓶入り）

ミミズの跡の芝土

シート無の芝土

花壇の花と土

氏名　　福島県　某氏	測定日平成２３年１０月７日 消去テスト 23 年 10 月 13 日	
住所　福島原発　５０ｋｍ圏外	コース　上水道水　（１０月４日取水）	

＊内容：放射線のエネルギー測定後に、プラズマ・エネルギー・コーザルシート上に90 分、120 分、180 分経過後の、放射線のエネルギーの消去度をポイントで測定。

測定結果　90 分)/120 分／180 分		超短波　波動	-1)→)1)/1)/2)	ﾐﾈﾗﾙﾊﾞﾗﾝｽ波動	0)→)0)/1)/2)
免疫　波動	1)→)1)/1)/2)	ﾘﾝﾊﾟ球　波動	-1)→)1)/1)/2)	ﾎﾙﾓﾝﾊﾞﾗﾝｽ波動	0)→)1)/1)/2)
神経　波動	-1)→)0)/1)/2)	放射線毒素波動	-2)→)0)/1)/2)	ﾋﾞﾀﾐﾝﾊﾞﾗﾝｽ波動	0)→)0)/1)/2)
酸性度波動	-1)→)0)/1)/2)	放射能　波動	-2)→)0)/1)/2)	染色体　波動	-1)→)1)/1)/2)
血小板波動	-1)→)1)/1)/2)	ﾚﾝﾄｹﾞﾝ焼波動	-1)→)0)/1)/2)	自然治癒力波動	0)→) 1)/1)/2)

「測定基本コード」

原子灰　波動 放射線量　(-2	セシウム 137 波動 (-2	β　線　波動 γ　線　(-2	放射線毒素　波動 (-２	シアナジン　波動 230　(-1
プルトニウム 239 波動　(-2	ダイオキシン波動 (-1	環境ホルモン波動 (-1	塩　素　波動 (-1	塩素臭　波動 (カルキ臭)　(-1
α　線　波動 (-2	臭素毒　波動 (-1	酸性度　波動 (-1	血小板　波動 (-1	染色体　波動 (-1
レントゲン焼け 波動　(-1	筋肉弛緩　波動 (-1	体液と血液の純度 波動　(-1	血液の酸化　波動 (-1	血液細胞　波動 (-1
穢れ地　波動 (-1	血液疾患　波動 (-1	血　管　波動 (-1	毛細血管　波動 (-1	血管皮膜　波動 (-1
副甲状腺　波動 甲状腺波動(-1	血管炎　波動 (-1	穢れ地　波動 (イヤシロチ)(-1	出　血　波動 (-1	鼻　血　波動 (-1

担当者からのメッセージ　穢れ地に於いて、原子灰放射線被曝疾患として、鼻血の出る人が見られます。防ぐには、住宅や部屋、ベット等にプラズマ・エネルギーコーザル・シートを貼付け又は敷きつめてイヤシロチを創出することで改善が可能です。

氏名　　福島県　某氏	相談日平成２３年１０月７日 消去テスト　２３年１０月１３日	
住所　福島原発　　５０km 圏外	コース　芝土　（１０月４日採取）	

9 月 28 日シートを撤去後、7 日間にミミズの跡ある、芝土の汚染度エネルギーを測定

＊内容：　放射線のエネルギー測定後に、プラズマ・エネルギー・コーザルシート上に

90 分経過後と 120 分経過後 180 分経過後の放射線のエネルギーの消去度をポイントで測定

測定結果　90 分)/120 分／180 分		超短波　波動	-1)→) 1)/1)/2)	ﾐﾈﾗﾙﾊﾞﾗﾝｽ波動	0)→) 0)/1)/2)
免疫　波動	1)→) 1)/1)/2)	ﾘﾝﾊﾟ球　波動	-1)→) 1)/1)/2)	ﾎﾙﾓﾝﾊﾞﾗﾝｽ波動	0)→) 1)/1)/2)
神経　波動	-1)→) 0)/1)/2)	放射線毒素波動	-2)→) 0)/1)/2)	ﾋﾞﾀﾐﾝﾊﾞﾗﾝｽ波動	0)→) 0)/1)/2)
酸性度波動	-1)→) 0)/1)/2)	放射能　波動	-2)→) 0)/1)/2)	染色体　波動	-1)→) 1)/1)/2)
血小板波動	-1)→) 0)/1)/2)	ﾚﾝﾄｹﾞﾝ焼波動	-1)→) 0)/1)/2	自然治癒力波動	0)→) 1)/1)/2)

「測定基本コード」

原子灰　波動 放射線量　(-2	セシウム 137 波動 (-2	β　線　波動 γ　線　(-2	放射線毒素　波動 (-２	農薬　波動 (-1
プルトニウム 239 波動　(-2	ダイオキシン波動 (-1	環境ホルモン波動 (-1	農薬飛来汚染波動 (-1	水銀毒　波動 (-1
α　線　波　動 (-2	臭素毒　波動 (-1	酸性度　波動 (-1	血小板　波動 (-1	染色体　波動 (-1
レントゲン焼け波動 (-1	筋肉弛緩　波動 (-1	体液と血液の純度 波動　(-1	血液の酸化　波動 (-1	血液細胞　波動 (-1
穢　れ　地　波　動 (-1	血液疾患　波動 (-1	血　管　波動 (-1	毛細血管　波動 (-1	血管皮膜　波動 (-1
副甲状腺　波動 甲状腺波動(-1	血管炎　波動 (-1	穢れ地　波動 (イヤシロチ)(-1	出　血　波動 (-1	鼻　血　波動 (-1

90 分経過後波動 原子灰/〃　(0	セシウム 137 波動 (0	β　線　波動 γ　線　(0	プルトニウム 239 波動　(0	α　線　波動 (0
120 分経過後波動 原子灰/〃　(+1	セシウム 137 波動 (+1	β　線　波動 γ　線　(+1	プルトニウム 239 波動　(+1	α　線　波動 (+1
180 分経過後波動 原子灰/〃　(+1	セシウム 137 波動 (+2	線　波動 γ　線　(+2	プルトニウム 239 波動　(+2	α　線　波　動 (+2

氏名　　福島県　某氏	相談日平成２３年１０月７日 消去テスト 23 年 10 月 13 日	
住所　福島原発　５０ｋｍ圏外	コース　芝土　（１０月４日採取）	
第１回目のテストでシート敷き込みをしていない場所の芝土汚染度測定		
＊内容：放射線のエネルギー測定後に、プラズマ・エネルギー・コーザルシート上に		
６０分、９０分、１２０分経過後の、放射線のエネルギーの消去度をポイントで測定。		

測定結果　60 分)/90 分)/120 分		超短波　波動	-1)-→) 0)/1)/2)	ﾐﾈﾗﾙﾊﾞﾗﾝｽ波動	0)→) 0)/1)/2)
免疫　波動	1)→) 1)/1)/2)	ﾘﾝﾊﾟ球　波動	-1)→) 0)/1)/2)	ﾎﾙﾓﾝﾊﾞﾗﾝｽ波動	0)→)
神経　波動	-1)→) 0)/1)/2)	放射線毒素波動	-1)→) 0)/1)/1)	ﾋﾞﾀﾐﾝﾊﾞﾗﾝｽ波動	0)→) 0)/1)/2)
酸性度波動	-1)→) 0)/1)/2)	放射能　波動	-1)→) 0)/1)/1)	染色体　波動	-1)→) 0)/1)/1)
血小板波動	-1)→) 1)/1)/2)	ﾚﾝﾄｹﾞﾝ焼波動	-1)→) 0)/1)/1)	自然治癒力波動	0)→) 0)/1)/2)

「測定基本コード」

原子灰　波動 放射線量　(-1	セシウム 137 波動 (-1	β　線　波動 γ　線　(-1	放射線毒素　波動 (-1	農薬　波動 (-1
プルトニウム 239 波動　(-1	ダイオキシン波動 (-1	環境ホルモン波動 (-1	農薬飛来汚染波動 (-1	水銀毒　波動 (-1
α　線　波動 (-1	臭素毒　波動 (-1	酸性度　波動 (-1	血小板　波動 (-1	染色体　波動 (-1
レントゲン焼け 波動　(-1	筋肉弛緩　波動 (-1	体液と血液の純度 波動　(-1	神　経　波動 (-1	穢れ地　波動 (-1

担当者からのメッセージ　穢れ地に於いて、原子灰放射線被曝疾患として、鼻血の出る人が見られます。防ぐには、住宅や部屋、ベット等にプラズマ・エネルギーコーザル・シートを貼付け又は敷きつめてイヤシロチを創出することで改善が可能です。

氏名　　福島県　某氏	相談日平成２３年１０月７日 消去テスト 23 年 10 月 13 日	
住所　福島原発　　５０ｋｍ圏外	コース　花壇の花と土　（１０月４日採取）	

第１回目のテストでシート敷き込みをしていない場所の花と土汚染度測定

＊内容：放射線のエネルギー測定後に、プラズマ・エネルギー・コーザルシート上に

６０分、９０分、１２０分経過後の、放射線のエネルギーの消去度をポイントで測定。

測定結果　60 分)/90 分)/120 分		超短波　波動	-1)/→) 0)/1)/2)	ﾐﾈﾗﾙﾊﾞﾗﾝｽ波動	0)→) 0)/1)/2)
免疫　波動	1)→) 1)/1)/2)	ﾘﾝﾊﾟ球　波動	-1)→) 0)/1)/2)	ﾎﾙﾓﾝﾊﾞﾗﾝｽ波動	0)→) 1)/1)/2)
神経　波動	-1)→) 0)/1)/2)	放射線毒素波動	-1)→) 0)/1)/1)	ﾋﾞﾀﾐﾝﾊﾞﾗﾝｽ波動	0)→) 0)/1)/2)
酸性度波動	-1)→) 0)/1)/2)	放射能　波動	-1)→) 0)/1)/1)	染色体　波動	-1)→) 0)/1)/1)
血小板波動	-1)→) 1)/1)/2)	ﾚﾝﾄｹﾞﾝ焼波動	-1)→) 0)/1)/1)	自然治癒力波動	0)→) 0)/1)/2)

「測定基本コード」

原子灰　波動 放射線量　(-1	セシウム 137 波動 (-1	β　線　波動 γ　線　(-1	放射線毒素　波動 (-1	農薬　波動 (-1
プルトニウム 239 波動　(-1	ダイオキシン波動 (-1	環境ホルモン波動 (-1	農薬飛来汚染波動 (-1	水銀毒　波動 (-1
α　線　波 動 (-1	臭素毒　波動 (-1	酸性度　波動 (-1	血小板　波動 (-1	染色体　波動 (-1
レントゲン焼け 波動　(-1	筋肉弛緩　波動 (-1	体液と血液の純度 波動　(-1	神　経　波動 (-1	穢れ地　波動 (-1

担当者からのメッセージ　穢れ地に於いて、原子灰放射線被曝疾患として、鼻血の出る人が見られます。防ぐには、住宅や部屋、ベット等にプラズマ・エネルギーコーザル・シートを貼付け又は敷きつめてイヤシロチを創出することで改善が可能です。